

UNIVERSIDADE ESTADUAL DE
CAMPINAS - UNICAMP

FACULDADE DE ENGENHARIA
AGRICOLA - FEAGRI

CAMPINAS - SÃO PAULO

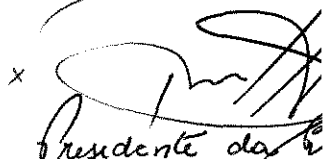
BRASIL

AVALIAÇÃO DO DESEMPENHO
OPERACIONAL DE UM ARAUTO DE
AIVEDAS EM UM LATOSOLO ROXO

Parecer

Este exemplar corresponde a redação final da dissertação de Mestrado defendida por Geraldo Ferretti e aprovada pela Comissão Julgadora em 09 de abril de 1992. Campinas, 15 de maio de 1992.

GERALDO FERRETTI
Ene. Agrícola

X 
Presidente da C.

Prof. Dr. Paulo S. B. Magalhães+
Orientador

Dissertação apresentada à Faculdade de Engenharia Agrícola da Universidade Estadual de Campinas, como "requisito parcial para obtenção do título de MESTRE EM ENGENHARIA AGRÍCOLA.

CAMPINAS - 1992

AVALIAÇÃO DO DESEMPENHO OPERACIONAL
DE UM ARADO DE AIVECAS
EM LATOSOLO RXD

GERALDO FERRETTI
Eng. Agrícola

Orientador: Prof.Dr. PAULO S.G. MAGALHÃES

1992

Aos meus pais
Raul e Aurora Verardo Ferretti
e aos meus irmãos
Santo, Marcos e Nair
DEDICO

AGRADECIMENTOS

Ao professor Paulo Sérgio Graziano Magalhães, pelo orientação, apoio e amizade.

Aos professores Nelson L. Capelli, Roberto F. Abramo, Oster A. Braunbeck e Claudio B. Sverzut pelas sugestões, cooperação e apoio técnico no desenvolvimento do Dimensionamento de Engate de Três Pontos.

Aos professores Cheu-Shang Chang e Newton R. Boni pelas sugestões apresentadas para a elaboração do Plano de Pesquisa.

Aos colegas José Aluizio Gomes Gualberto, Arsenio Sattler, Antonio Lilles Tavares, Pedro Henrique Weirich, Ednaldo Carvalho Guimarães, João Carlos dos Santos e Angelo Vieira dos Reis pela colaboração na realização dos ensaios em campo na FEAGRI - UNICAMP.

Ao Diretor da Divisão de Engenharia Agrícola do IAPAR, Ruy Cassio Jr., pela concessão da área, madeira-obra e

hospitalidade para a primeira execução dos experimentos em Londrina-PR.

Em especial ao colega Paulo Roberto Abreu de Figueiredo pela cooperação, apoio e amizade quando da primeira tentativa de realização dos ensaios no IAPAR em Londrina - PR.

Ao Sr. Antônio Liogi, Dna. Ivete Liogi e Eloah pela hospitalidade em Rolândia - PR.

Aos funcionários do Laboratório de Protótipos e do Campo Experimental da FEAGRI - UNICAMP.

A Marcos Ferretti e Ichiro Aoki pelo empréstimo da interface e assessoria para digitalização dos dados fornecidos pelo Dinamômetro de Três Pontos.

A POSITRON MECÂNICA FINA E INFORMATICA pelo empréstimo de uma bateria e um automóvel no dia da realização dos ensaios de campo na FEAGRI - UNICAMP.

A CAPES, UNICAMP, FAPESP e FAEP-UNICAMP pela concessão de bolsa de estudos.

A minha irmã, Nair Ferretti, pela ajuda financeira no período de set/91 a dez/91.

SUMARIO

	Página
DEDICATÓRIA.....	iii
AGRADECIMENTOS.....	iv
SUMARIO.....	vi
LISTA DE FIGURAS.....	ix
LISTA DE ANEXOS.....	x
LISTA DE TABELAS.....	xi
LISTA DE SÍMBOLOS.....	xii
RESUMO.....	xv
1 INTRODUÇÃO.....	1
2 OBJETIVOS.....	4
3 REVISÃO BIBLIOGRAFICA.....	5
3.1 Preparo do solo.....	5
3.2 Avaliação do desempenho de implementos.....	8
3.3 Arado de aivecas.....	13
3.4 Sistemas dinamométricos.....	15
4 MATERIAIS E MÉTODOS.....	20
4.1 Local do experimento.....	20
4.2 Área experimental.....	20
4.3 Análise das propriedades e condições físicas	

do solo.....	22
4.4 Delineamento experimental.....	24
4.5 Delineamento estatístico.....	25
4.6 Parâmetros avaliados.....	25
4.6.1 Cobertura do solo.....	25
4.6.2 Perfil superficial do solo.....	26
4.6.3 Perfil sub-superficial do solo.....	27
4.6.4 Tamanho dos agregados da solo mobilizado.....	28
4.6.5 Esforços desenvolvidos na aração.....	29
4.6.6 Ângulo de inversão do solo.....	29
4.7 Sistêm de ensaio.....	30
4.7.1 Trator.....	30
4.7.2 Dinamômetro de Engate de Três Pontos (DGP)	30
4.7.3 Arado.....	31
4.7.4 Instrumentação embarcada.....	35
4.7.5 Interface para conversão analógico/digital....	38
4.7.6 Isolação de vibrações dos instrumentos.....	38
5 DINAMÔMETRO DE ENGATE DE TRES PONTOS (DGP)	40
5.1 Princípios de funcionamento.....	40
5.2 Determinação das forças no implemento.....	41
5.3 Determinação dos momentos associados.....	43
5.4 Determinação do Centro de Resistência (CR) das forças atuantes no implemento.....	44
5.5 Determinação do peso do implemento.....	46
5.6 Determinação do Centro de Gravidade (CG) do implemento.....	47
6 RESULTADOS E DISCUSSÃO.....	49

6.1	Velocidades de deslocamento do implemento.....	49
6.2	Profundidade de aração.....	50
6.3	Cobertura vegetal.....	51
6.4	Ângulo de inversão do solo.....	51
6.5	Área de solo mobilizado.....	51
6.6	Força de tração do implemento.....	52
6.7	Força lateral do implemento.....	53
6.8	Força vertical do implemento.....	55
6.9	Diametro Médio Geométrico dos agregados.....	56
6.10	Densidade aparente seca do solo.....	57
6.11	Forças e momentos obtidos pelo DGP.....	57
6.12	Reações do solo sobre o arado.....	60
6.13	Distribuição dos agregados por classe.....	60
7	CONCLUSÕES FINAIS.....	64
8	ABSTRACT.....	66
9	REFERENCIAS BIBLIOGRAFICAS.....	67

LISTA DE FIGURAS

FIGURA	PÁGINA
1	21
2	21
3	32
4	33
5	33
6	34
7	34
8	36
9	37
10	42
11	59
36	62
39	63

LISTA DE ANEXOS

ANEXOS	PAGINA
1 a 8 - Força de Tracção (Fx) do arado versus tempo de percurso.....	70
9 a 16 - Força Lateral (Fy) do arado versus tempo de percurso.....	75
17 a 24 - Força Vertical (Fz) do arado versus tempo de percurso.....	86

LISTA DE TABELAS

TABELA	PÁGINA
1 - Teor de umidade do solo durante a realização do experimento de campo.....	23
2 - Densidade aparente seca do solo coletado na área útil do experimento de campo.....	27
3 - Descrição dos tratamentos em função da configuração operação do trator e regulagem de profundidade do implemento.....	24
4 - Velocidade de deslocamento (km/h).....	49
5 - Percentagem de cobertura vegetal (%) e aplicação do teste de Tukey.....	51
6 - Ângulo de inversão do solo (θ) e aplicação do teste de Tukey.....	52
7 - Área mobilizada do solo pelo arado e aplicação do teste de Tukey.....	53
8 - Força média de tração F_x (kgf) e aplicação do teste de Tukey.....	54
9 - Força média lateral F_y (kgf) e aplicação do teste de Tukey.....	54

10	- Força média vertical Fz (kgf) e aplicação do teste de Tukey.....	156
11	- Profundidade de aração (m).....	50
12	- Diâmetro Médio Geométrico DMG (mm) e aplicação do teste de Tukey.....	56
13	- Forças(kgf) e Momentos(kgf.m) para os tratamentos.....	58
14	- Forças (kgf) obtidas nos testes de campo.....	59

LISTA DE SÍMBOLOS

SÍMBOLO	UNIDADES
ALFA	Nível de significância estatística.....
beta	ângulo entre as células 2 e 6 ou 4 e 6 do DGP.....
CR	Centro de Resistência do Implemento.....
CV	Coeficiente de variação.....
DA	Invertidae espessura seca do solo..... g/cm ³
DMG	Diâmetro Médio Geométrico..... mm
di	diâmetro médio da classe da peneira "i"..... mm
DGP	Sigla do Dinamômetro de Engate de Três Pontos
Fx	Força de tração do implemento..... kgf
Fy	Força lateral do implemento..... kgf
Fz	Força vertical do implemento..... kgf
Fxm	Força média de tração do implemento..... kgf
Fym	Força média lateral do implemento..... kgf
Fzm	Força média vertical do implemento..... kgf
F1 a F6	Forças obtidas pelas células de carga do DGP..... kgf
i, j, k	Vetores unitários ortogonais.....
MF	Módulo de finura.....
Mx	Momento em torno de eixo Ox..... kgfm

M_y	- Momento em torno do eixo O_y	kgfm
M_z	- Momento em torno do eixo O_z	kgfm
M_{xm}	- Momento médio em torno do eixo O_x	kgfm
M_{ym}	- Momento médio em torno do eixo O_y	kgfm
M_{zm}	- Momento médio em torno do eixo O_z	kgfm
S	- Distância acrescida entre o trator e o implemento devido ao Dinamômetro de Três Pontos.....	m
SOMAT	- Somatória de termos.....	
t	- tempo.....	s
$U(\%)$	- Teor de umidade do solo.....	%
V_m	- Velocidade média.....	km/h
x'	- coordenada sobre o eixo O_x	m
y'	- coordenada sobre o eixo O_y	m
z'	- coordenada sobre o eixo O_z	m
W_i	- Peso de solo retido na peneira de índice "i".....	g
$W_{i\%}$	- Porcentagem de solo retido na peneira "i".....	%
T_{iBj}	- Tratamento de índice "i" do bloco de índice "j"	

RESUMO

Foi realizada a avaliação do desempenho de um arado de duas sivetas semi-helicoidais do tipo montado fixo, objetivando-se conhecer os esforços envolvidos, a tração da siveta do solo mobilizado, ângulo de inversão da leiva e o tamanho dos agregados gerados com sua utilização. O desempenho do arado foi avaliado em um latossolo Vermelho-textura argilosa variando-se a velocidade de deslocamento em quatro níveis distintos e a profundidade de trabalho em dois níveis. Foram coletadas amostras para determinação do tamanho dos agregados, densidade, umidade, perfil superficial e sub-superficial, tempos de percurso do conjunto trator-implemento, taxa de cobertura vegetal, ângulo de inversão da leiva e esforços envolvidos na tração. Concluiu-se que:

As velocidades de deslocamento compreendidas entre 4,4 e 5,2 km/h apontam uma tendência de redução da força de tração para o implemento avaliado. A força lateral do arado manteve-se constante e próxima de zero, o que evidencia um bom dimensionamento do reato das sivetas para o equilíbrio das forças. A força vertical do implemento sofreu

influência da velocidade de deslocamento. Porém, estabelecer seu comportamento, demandaria uma quantidade maior de testes de campo. Maiores velocidades de deslocamento geram um maior grau de mobilização do solo. O controle de profundidade de aração através da roda de controle de profundidade não foi satisfatoriamente executado devido à grande quantidade de cobertura vegetal da área experimental e ao fato de que o trator operou com a reação do terceiro ponto ativada. Para fins experimentais, o emprego de um trator 4x4 de maior potência seria mais adequado para o implemento utilizado e para o tipo e condições locais do solo da área experimental. O Dinamômetro de Engate de Três Pontos (DGP) apresentou um bom funcionamento, indicando que sua utilização na avaliação de máquinas e implementos agrícolas é de grande valia.

I - INTRODUÇÃO

O arado de aivecas é conhecido como uma das mais antigas ferramentas de preparo do solo e seu uso é amplamente difundido em países onde a agricultura apresenta-se bem tecnificada.

Em nosso país pode-se constatar que uma expressiva maioria dos agricultores utilizam arados de disco. Tal fato explica-se por algumas características que os tornam muito apreciados pelos agricultores, quais sejam: sua robustez, esforço de tração relativamente inferior e capacidade de operação em condições de solo amplamente diferentes e adversas.

Os arados de aiveca, por sua vez, possibilitam o corte do solo em prismas retangulares que acabam por gerar uma mobilização do solo de qualidade superior ao do arado de disco com relação ao tamanho, distribuição dos torrões, inversão da leiva e nivelamento da superfície.

Contudo, para se obter uma qualidade de trabalho superior, o agricultor precisa despende um esforço tratôrico maior e ligeira elevação da demanda de energia que influenciam diretamente a capacidade de campo da ferramenta.

Técnicas alternativas ao preparo convencional do solo, como Preparo mínimo, preparo reduzido e plantio direto, têm sido amplamente difundidas para solucionar ou minimizar os efeitos danosos ao solo provocados pelo sistema convencional, quer sejam eles oriundos da utilização adequada ou não dos implementos de preparo do solo.

Embora a necessidade da tarefa de preparo do solo para algumas culturas venha sendo questionada por pesquisadores, ela ainda continuará muito empregada e, para aqueles agricultores que tem procurado melhor qualidade de trabalho e crescentes níveis de produção, o arado de aivecas apresenta-se como uma boa opção.

No Brasil, alguns fabricantes de arados de aivecas têm especial interesse na ampliação de seu mercado consumidor, que se tornará cada vez mais viável na medida em que seus produtos apresentem um desempenho competitivo quando comparado com os dos arados de discos, enxadas rotativas e outros.

é necessário portanto, conhecer a magnitude e influência dos parâmetros envolvidos no modo de operação de um arado de sivecas, visando encontrar as condições mais adequadas para a tarefa de aração com seu uso.

Dentro deste contexto se insere esta Dissertação de Mestrado que visa, com seus objetivos, colocar à disposição de fabricantes e consumidores, informações adequadas para a avaliação e utilização de arados de sivecas.

2 - OBJETIVOS:

Determinar o comportamento de algumas características de desempenho do arado de aivecas para condições de um solo brasileiro.

Determinar as características básicas de desempenho de um arado de aivecas, comercialmente disponível, em função da profundidade de trabalho, velocidade de deslocamento e esforços de tração exigidos, considerando-se um tipo e uma condição do solo no local de campo;

Quantificar as características do trabalho realizado no solo e compará-las, objetivandose avaliar o desempenho do implemento.

B - REVISÃO BIBLIOGRAFICA

3.1 - Preparo do solo

CULPIN (1986) define o preparo do solo como sendo a prática de alterar seu estado a fim de fornecer condições favoráveis ao desenvolvimento de uma cultura. O preparo do solo também representa um dos itens de maior custo na atividade agrícola. Os objetivos principais do preparo do solo podem ser resumidos em:

- a) fornecer um nível de mobilização desejável do solo para a cultura a ser implantada;
- b) mudanças no teor de umidade do solo;
- c) controle de ervas daninhas e pragas da cultura;
- d) incorporação de restos de culturas, fertilizantes, esterco, etc... .

Um bom preparo não depende só, de um implemento isoladamente mas, também, da ação de outros implementos e de agentes climáticos tais como: chuvas, ventos secos e geadas, segundo CULPIN (1986).

GAMERO (1989) utilizou uma metodologia para avaliar quantitativamente o preparo do solo. A metodologia consiste em extrair uma amostra de 0,018 m³ de solo mobilizado. A amostra coletada deve ser seca em estufa e a seguir, peneirada. Com os dados de percentagem de solo retido em cada peneira, pode-se obter o diâmetro médio geométrico dos torrões do solo, tamanho dos agregados e/ou módulo de finura.

BATEMAN, H.P. et al (1965) apresentaram dois novos métodos de laboratório para se determinar a energia requerida para se mobilizar um solo natural. São apresentados os resultados para diferentes graus de compactação e umidade do solo.

Concluem os autores anteriormente citados que:

- a) a energia requerida aumenta linearmente com o decréscimo do diâmetro médio ponderado dos torrões de solo;
- b) solos pouco densos sofrem menor influência da umidade na energia necessária para mobilização;
- c) compactandose o solo, aumenta-se a energia necessária para mobilização;
- d) futuros testes serão necessários para se determinar o mínimo de energia requerida para um dado tipo de solo, grau de compactação e teor de umidade. Tais informações

ajudariam a se determinar métodos de mobilização do solo para projeto de ferramentas.

3.2- Avaliação do desempenho de implementos

O desempenho de uma ferramenta de preparo do solo pode ser definido como a produção de mudanças nas condições do solo pela mobilização do mesmo. Dois fatores devem ser analisados e quantificados para se avaliar o desempenho: a quantidade de solo mobilizado e as forças envolvidas no processo. A diferença entre as condições iniciais e finais do solo representam a quantidade de mobilização. As forças requeridas para uma dada manipulação não variam se as condições de operação da ferramenta e condições iniciais do solo forem as mesmas segundo GILL & VANDEN BERG (1968).

Deste modo, pode-se estabelecer que, dadas as condições do solo a serem atingidas e as que realmente se atingiram com o uso da ferramenta, pode-se então, avaliar o desempenho do implemento.

O desempenho envolve, portanto, além de mudanças no solo para novas condições, também menor utilização de energia e uma condição final do solo que seja considerada aceitável para a implantação de uma cultura segundo GILL & VANDEN BERG (1968).

Ao longo dos anos, muitas pesquisas têm sido efetuadas com arados de aiveca e o projeto e otimização do desempenho sempre levaram aos métodos usuais de projeto e ensaios (tentativa e erro) para estas ferramentas segundo KEPNER et al. (1982).

LAFLEN et al. (1981) compararam três métodos de determinação de cobertura do solo com restos vegetais. Neste trabalho concluem que o método da trena se mostrou mais preciso e melhor adequado para uso no campo. Este método consiste em se estender ao arado, sobre a área em estudo, uma trena de 15 m e a cada 0,15 m registrar os pontos que ficarem sobre restos vegetais. A percentagem de cobertura vegetal é então dada pela razão entre o número de pontos sobre restos vegetais e o número total de pontos, multiplicada por 100.

SOUZA, M.M.S. et al (1989) compararam o desempenho de um arado de aivecas com um arado de discos. Utilizaram um arado de aivecas do tipo montado reversível de três corpos, com largura de corte de 1,20 m e um arado de quatro discos lisos de 26 polegadas, do tipo montado fixo, com largura de corte de 1,20m. Mantiver-se a profundidade de trabalho entre 0,20 e 0,22 m e a velocidade de deslocamento, foi variada em três níveis distintos. Para o arado de aivecas, desenvolveu-se as velocidades de 3,66, 3,94 e 4,56 km/h e para o arado de discos, 4,23, 4,30 e 4,40 km/h.

Determinaram-se os parâmetros de força na barra de tração, deslizamento das rodas e consumo de combustível, utilizando-se de uma célula de carga (capacidade 5,0 ton.), sensores foto-elétricos e um dispositivo de Pierburg, respectivamente. A força de tração na barra foi determinada com a utilização de dois tratores em sistema de comboio. Os testes foram realizados num solo com 46% de argila, classificado como Latossolo Vermelho Escuro com umidade média de 20,2% e densidade específica aparente entre 1,19 e 1,31 g/cm³. Os autores do trabalho concluíram que para todos os parâmetros avaliados, o arado de aivecas apresentou valores superiores de força de tração, potência na barra e consumo de combustível em relação ao arado de disco e que, para os dois tipos de arado, o aumento da velocidade de deslocamento ocasionou um aumento de força de tração, potência e consumo de combustível.

PINHO, N.J.F. et al (1989) compararam o desempenho de um arado de aivecas do tipo montado reversível de três corpos, largura de corte de 1,20 m, equipado com relhas pequenas e grandes, afiadas e sem fio. Deste modo, desenvolveram quatro tratamentos a uma velocidade de 6,0 km/h e 0,23 m de profundidade. Utilizaram uma célula de carga de 5,0 ton. de capacidade, sensores foto-elétricos e um dispositivo de Pierburg para determinação da força na barra de tração, deslizamento das rodas de tração e consumo de combustível. Concluíram que, para todos os parâmetros

avaliados, não se constatou diferença significativa entre os tratamentos estudados.

QUIONG et all (1986) desenvolveram um modelamento matemático, dotado de considerações físicas aliadas à dinâmica dos solos para se prever as forças atuantes numa ariveca. O modelo forneceu boas previsões para as forças longitudinais e laterais. Contudo, a força vertical foi superestimada pelo método.

GILL & MCCREERY (1980) estudaram o comportamento da largura de corte em relação à eficiência de ferramenta (arivecas). Também relacionaram a largura da corte com o tamanho dos torrões de solo para o arado de arivecas, o arado de disco e a enxada rotativa. Concluíram que a largura de corte em solos coesivos e consolidados é um importante fator no diâmetro médio ponderado dos torrões de solo. A utilização de pequenas larguras de corte podem ser proveitosas para ferramentas que operam em solos duros. Para arivecas seriam adequadas menores larguras de corte mesmo que ocorressem maiores índices de consumo de combustível.

NICHOLS et all (1958) estudaram o comportamento de três tipos de relhas amplamente utilizadas em arados de ariveca que por sua vez, foram ensaiadas em caixa de solo. Neste trabalho concluíram que deve ser dada especial atenção ao tipo e condições do solo que ocasionam grandes alterações na

força de tração necessária. Também observam que o ângulo de corte e da ataque da ferramenta afetam consideravelmente o escoamento do solo sobre a superfície da aiveca.

WAINWRIGHT et al. (1983) modificaram um arado de três aivecas de modo a poder variar o ângulo e largura de corte por meio de um cilindro hidráulico. Concluíram que um bom desempenho pode ser obtido com o uso de altas velocidades de deslocamento e com ângulo de corte menor que o originalmente oferecido pela ferramenta. Contudo, observaram que houve um ligeiro aumento na força de tração em função das elevadas velocidades.

COWELL & FALLAK (1976) apresentam uma teoria para prever o comportamento de um arado de aiveca durante a penetração no solo e obtiveram equações de primeira ordem cuja solução é uma função exponencial decrescente da profundidade atingida no solo pela distância percorrida. Também concluem que a trajetória da ferramenta durante a penetração é afetada para velocidades de deslocamento acima de 1,1 Km/h do arado.

WANG & KUANG (1973) estudaram o comportamento da força de tração de aivecas em escala reduzida e mostrou que o uso destes protótipos são menos dispendiosos. Observou também que a força de tração pode ser prevista quando dados de um

solo são conhecidos para uma ferramenta que foi ensaiada anteriormente em outro tipo de solo.

RICHÉY (1969) apresenta o projeto e desenvolvimento de um arado de aivecas semi-montado reversível. O autor enumera uma série de possíveis vantagens do mesmo e ao final, conclui que o esforço tratorio parece ser menor que para arados montados.

O'DALLAGHAN & McCODY (1965) descreveram o comportamento do solo ao percorrer a superfície de uma aiveca dando ênfase para a análise de um elemento diferencial de volume de solo sobre a ferramenta. Concluem que é possível produzir as forças e acelerações exercidas pela aiveca no solo com o uso de um computador digital.

MCKYES (1985) apresenta uma tabela de equações para obtenção da tração específica de aivecas em função da velocidade de deslocamento e do tipo de solo na qual deverá operar. A equação: $T = 7 + 0,049v$ para um solo argilo-siltoso característico do sul do Texas - EUA é a que representa mais adequadamente as forças de tração desenvolvidas pelo implemento utilizado neste Dissertação de Mestrado.

3.3- Arado de aivecas

BALASTREIRE, L.A. (1987) descreve o arado de aivecas como uma das mais antigas ferramentas de preparo periódico do solo, mencionando a sua utilização pelos povos asiáticos. Os arados de aivecas utilizados no Ocidente, originaram-se dos Romanos e possuíam uma relha e um anteparo plano para separação do solo arado do não arado. Atualmente as aivecas possuem forma originalmente concebida pelos Chineses. Também apresenta metodologias para o projeto e desenho de aivecas em função da finalidade e fonte de tração. Para a determinação dos esforços, baseado em métodos empíricos, propõe uma metodologia para se encontrar o ponto de aplicação e esforços envolvidos na aração com aivecas.

SHIPPEN, J.M. et all (1980) descrevem as partes características de um arado de aivecas montado fixo, a saber:

- a) estrutura principal: freqüentemente fabricada em aço tubular destinase ao suporte das ferramentas de trabalho do solo e ao acoplamento ao engate de três pontos do trator;
- b) relha: lâmina responsável pelo corte e levantamento inicial do solo;
- c) aiveca: superfície responsável pela mobilização e inversão da laiva de solo;
- d) sega circular: realiza o corte inicial da parede do sulco a ser desenvolvido pela relha e aiveca;

- e) limpador da sega: pequena lâmina metálica cuja função é remover o solo aderido à sega à fim de evitar seu embuchamento;
- f) rasto: equilibra a força lateral da ferramenta apoiando-se na parede do sulco;
- g) coluna: peça que mantém fixas as posições da relha, aiveca e rasto;
- h) roda de controle de profundidade: pode ser montada na parte frontal ou traseira do arado.

CLYDE (1961) comenta sobre a relação entre a força vertical e a força longitudinal numa ferramenta de preparo do solo. Esta relação somada a uma série de considerações sobre a interação solo-ferramenta fazem parte de seu trabalho visando localizar o centro de resistência da aiveca.

CARLSON (1961) apresenta a utilização de computadores como uma ferramenta de grande importância no projeto de aivecas. Apresenta em seu trabalho métodos matemáticos para descrever a superfície da ferramenta e mostra que sua implantação num computador digital seria de grande valia.

KAUFMAN & TOTTEN (1972) desenvolveram um arado de aiveca com uma geometria especial baseada num eixo de rotação sobre uma superfície plana de metal que a torna curvada de tal modo a promover a inversão do solo. Após os

ensaios sugeriram modificações no comprimento longitudinal da aiveca. Cabe observar que a disposição das aivecas neste arado geraram um equilíbrio de forças laterais.

WENDELL, B. et al (1973) apresentam uma tabela de resistência específica à tração de um implemento em função da textura e umidade do solo em termos genéricos. Com estes dados experimentais propõem o cálculo da força de tração de um implemento multiplicando-se a área seccional de solo mobilizado pelo valor de resistência específica à tração da tabela. Mencionam as regulagens, tipos de acoplamento e características principais dos arados de aivecas. Os autores recomendam posicionar a sega circular cerca de 1/2 polegadas acima da ponta da melha e 3/4 de polegada distante do ombro de cada aiveca.

3.4- Sistemas dinamométricos

LAL (1959), num trabalho desenvolvido na Inglaterra, projetou e construiu um aparelho para medição de esforços nos pinos de engate de implementos agrícolas. Este dinamômetro consistiu de uma barra de tração transversal instrumentada com extensômetros de resistência elétrica, de forma a medir as forças nas direções longitudinal e vertical. A união entre o braço superior e o implemento era realizada através de um pequeno dinamômetro que foi

projetado para suportar os esforços originados pela estrutura, medir as forças horizontais de tração naquele ponto, bem como possibilitar o cálculo do momento em relação ao eixo transversal. Segundo o autor, alcançou-se com equipamentos de registro, uma precisão de $\pm 5\%$, podendo chegar até 3% utilizando instrumentos registradores com galvanômetros de boa sensibilidade e frequência de resposta.

SCHOLTZ (1964), projetou para o NIAE (Inglaterra), um dinamômetro no qual a força de tração era medida por barras instrumentadas com extensômetros de resistência elétrica, sendo que, estas substituíam as barras originais do trator. O sistema de medição foi utilizado com o levantador hidráulico restrinrido. O autor identificou causas de erro relacionadas com os seguintes pontos:

- atrito nas juntas articuladas;
- posicionamento imperfeito dos extensômetros elétricos;
- imperfeições na seção transversal dos transdutores de forças;
- desalinhamento dos transdutores com relação à direção de medição;
- variação no referencial adotado devido a não manutenção da posição pelo controle da profundidade;
- existência de diferenças na sensibilidade dos transdutores.

SCHOLTZ (1966), aprimorou o projeto e construiu um dinamômetro disposto na forma de "U" invertido, para permitir o uso da tomada de potência do trator. O dinamômetro constituía-se de uma estrutura intermediária, pesando aproximadamente 130 kg e introduzia uma distância de aproximadamente 22 cm da posição original de engate do implemento agrícola. Este instrumento teve como sua maior limitação a capacidade de somente medir forças atuando nas direções vertical e longitudinal e funcionar com o controle de profundidade restringido.

MATTOS (1972), projetou e construiu um dispositivo para medir esforços longitudinais e verticais que atuam no engate de três pontos do trator. Este dispositivo consistiu de pinos instrumentados com extensômetros de resistência elétrica, que substituíam os pinos originais do implemento.

As principais limitações foram:

- dificuldade de alinhamento dos pinos transdutores;
- baixa sensibilidade dos transdutores;

JOHNSON & VOORHEES (1979), construiram um dinamômetro para os três pontos do trator capaz de medir esforços longitudinais, verticais e momento em torno do eixo transversal. Este dinamômetro consistiu de uma estrutura intermediária e era composto por três sub-conjuntos, sendo um acoplado ao trator, o intermediário para medir esforços perpendiculares e o terceiro para acoplar o implemento.

Foi projetado para duas faixas de operação da esforços longitudinais e para as categorias II e III de engate. Sua maior limitação foi não permitir o uso da tomada de potência e não medir esforços transversais.

~~Smith & Barker~~ SMITH & BARKER (1982) desenvolveram um transdutor de forças para o engate de três pontos do trator. Basicamente consiste de uma estrutura metálica dotada de seis células de carga axiais, dispostas e instaladas de tal modo a se medir os esforços com a menor sensibilidade cruzada possível.

Porém, sua geometria não permitia o uso da TDP do trator.

Após os testes, os autores concluíram que o transdutor apresentou um desempenho bastante satisfatório para o uso no ensaio de implementos agrícolas.

REID et al (1985) construiram um dinamômetro para ser acoplado aos três pontos do trator, adequado para as categorias I e II de engate. Constitui-se de três vigas em balanço, montadas verticalmente e instrumentadas com extensômetros de resistência elétrica. A geometria de sua estrutura permitia o ajuste da largura e altura dos três pontos de acordo com as dimensões dos pontos do implemento.

Seu projeto permitiu o uso da tomada de potência do trator.

Porém, sua maior limitação foi não possibilitar a medição das forças laterais, verticais e momentos associados.

GIRMA (1989) projetou e implantou cinco transdutores do tipo anel octogonal estendido numa alicava de modo a se medir as forças ortogonais e momentos em cada elemento que compõe a ferramenta. Concluiu que o emprego destes transdutores é adequado e que é de grande valia o uso do método dos elementos finitos para dimensioná-los.

RICHÉY et all (1989) desenvolveram um programa computacional para se prever os esforços numa alicava a partir das propriedades do solo, condições da operação e formato da ferramenta. Utilizando-se dados experimentais já existentes, o programa apresentou previsões adequadas para a força de tração, enquanto que para as forças verticais e laterais, não forneceu previsões adequadas.

4 - MATERIAIS E MÉTODOS

4.1 - Local do experimento

Os testes foram realizados no Campo Experimental da FEAGRI - UNICAMP, Estado de São Paulo. O clima da região é uma transição entre Cwa e Cwf, segundo a classificação climática de Köppen, ou seja, subtropical de altitude, com verão úmido, chuvoso e quente no verão, com precipitação anual em torno de 1370 mm e temperatura média anual de 20,6°C.

O experimento foi instalado numa área de 3552 m² cuja altitude é de 663 m e declividade de 6,5% em um Latossolo Roxo.

4.2 - Área experimental

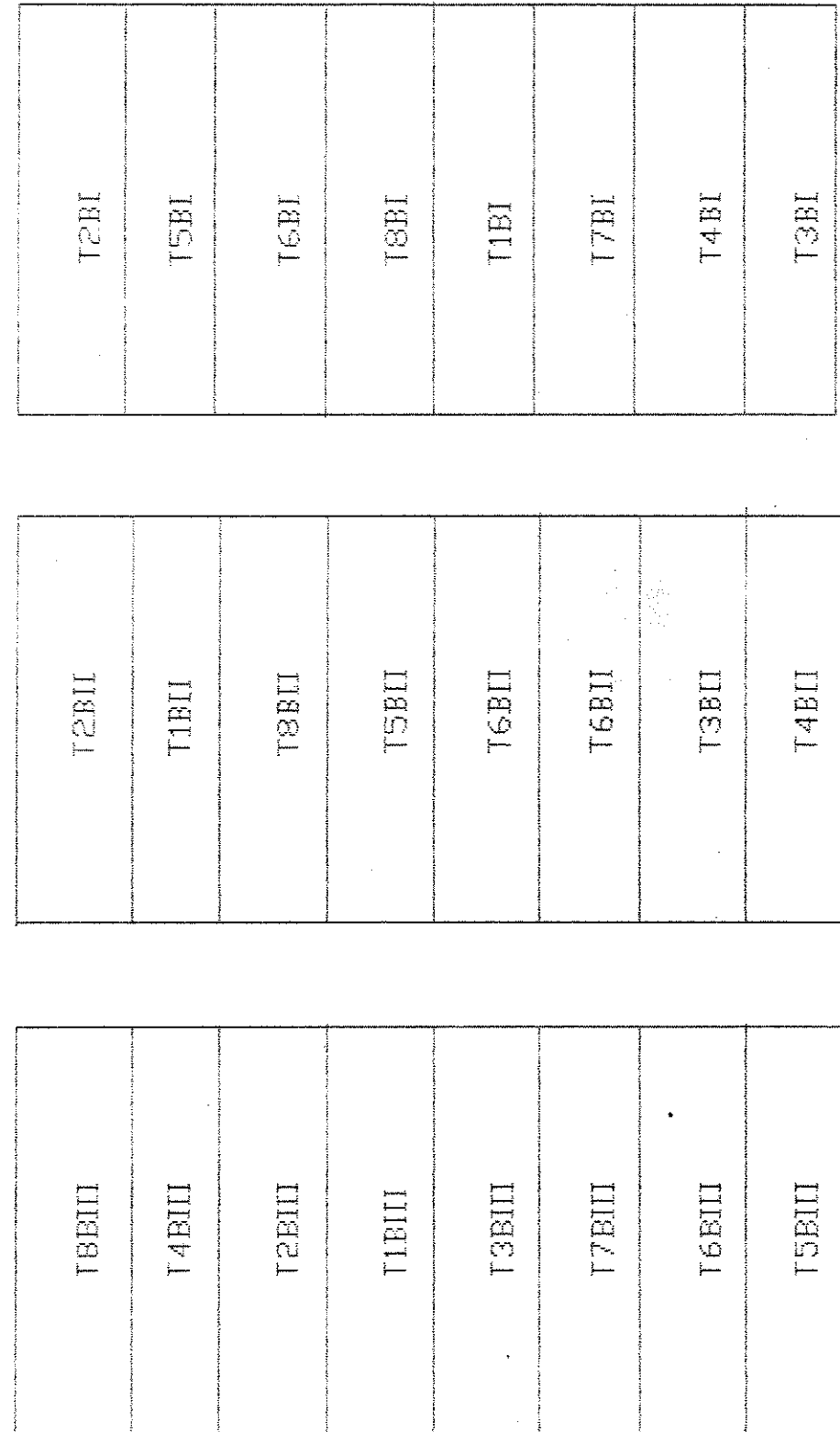
Foram demarcadas 24 parcelas com 2,70 m de largura e 40,00 m de comprimento. Conforme apresentado na FIGURA 1.

FIG. 1: CRUQUI DAS PARCELAS EXPERIMENTAIS

40,0 m

3,7 m

n



A superfície da área dos testes apresentava grande quantidade de ervas daninhas e restos de cultura de milho anteriormente implantada no local. O preparo da área para a cultura do milho foi realizado com o uso de um arado de discos de três corpos, do tipo montado fixo e de uma grade leve com 14 discos recortados.

4.3- Análise das propriedades e condições físicas do solo

Quatro dias antes dos testes com o conjunto instrumentado trator-implemento, foram coletados os dados relativos à densidade do solo, cobertura vegetal e profundidade superficial do solo.

Foram coletadas nove amostras de solo para determinação do teor de umidade durante o dia da realização dos testes em campo, igualmente espaçadas e distribuídas em toda a área útil do experimento, conforme a TABELA 1.

Coletaram-se também, doze amostras de solo para determinação da densidade aparente, igualmente espaçadas e distribuídas pela área útil do experimento. Vide TABELA 2.

26

TAB. 1: TEOR DE UMIDADE DO SOLO DURANTE A REALIZAÇÃO
DOS EXPERIMENTOS DE CAMPO

LOCAL DE AMOSTRAGEM	UMIDADE (%)
T1BII	21,63
T3BI	19,54
T3BIII	21,69
T4BII	23,08
T4BIII	21,49
T5BI	19,37
T5BIII	21,79
T7BI	20,37
T7BII	21,66

$$\text{MÉDIA} = 21,21\% \quad \text{CV} = 5,72\%$$

TAB. 2: DENSIDADE APARENTE DO SOLO NAS
PARCELAS DOS EXPERIMENTOS DE CAMPO

LOCAL DE AMOSTRAGEM	DENSIDADE APARENTE (g/cm^3)
T2BI	1,30
T2BII	1,35
T2BIII	1,24
T5BI	1,12
T1BII	1,33
T2BIII	1,11
T7BI	1,10
T7BII	1,26
T3BIII	1,22
T5BI	1,32
T4BII	1,25
T5BIII	1,25

$$\text{MÉDIA} = 1,24 \quad \text{g}/\text{cm}^3 \quad \text{CV} = 6,98\%$$

No dia e logo após à realização dos testes, vinte e quatro amostras de solo mobilizado foram recolhidas em caixas de papelão para determinação do diâmetro médio

geométrico (DNG) e módulo de finura (MF) para se avaliar o grau da mobilização do solo obtido pelos tratamentos com o arado de alicas da marca IKEDA, modelo AIV-2R (ou MF2).

4.4 - Delineamento experimental

Cada tratamento foi representado pela combinação de uma velocidade de deslocamento e uma profundidade de operação do implemento.

A velocidade de deslocamento foi variada em quatro níveis distintos e a profundidade de operação do arado em dois níveis. Desta modo, resultou um total de oito tratamentos, conforme a TABELA 3.

TAB. 3: DESCRIÇÃO DOS TRATAMENTOS EM FUNÇÃO DO REGIME DE OPERAÇÃO DO TRATOR E PROFUNDIDADE DO IMPLIMENTO

TRAT. Nº	MARCHA ENGRENADA	TRATOR	ROTAÇÃO (rpm)	ARADO PROFUNDIDADE AJUSTADA (cm)
1	1ª		1600	15
2	2ª		1800	15
3	3ª		1800	15
4	3ª		2000	15
5	1ª		1800	25
6	1ª		2100	25
7	2ª		1800	25
8	2ª		2100	25

4.5 - Delineamento estatístico

Adotou-se o delineamento estatístico de blocos casualizados com oito tratamentos e três repetições.

Deste modo, a área experimental foi subdividida em três blocos com oito tratamentos em cada bloco, totalizando 24 parcelas experimentais.

Foram realizadas Análises de Variância e Teste de Tukey, sem transformação dos dados, através do programa SANEST (Sistema de Análise Estatística). Os dados implantados no SANEST possibilitaram a obtenção das relações existentes entre: velocidade e profundidade com os parâmetros de forças, área mobilizada, agregados e ângulo de inversão do solo.

4.6 - Parâmetros avaliados

4.6.1 - Cobertura do solo

O percentual de cobertura vegetal do solo foi determinado antes do preparo do solo e em cada parcela através do método adaptado de LAFLEN et al. (1981).

Este método adaptado consiste no uso de um barbante de 20,00 m de comprimento com marcas a cada 0,20 m. O barbante foi esticado ao longo do sentido diagonal de cada parcela e, a seguir, faz uma contagem das marcas do barbante que coincidiam com restos de cultura. O percentual de cobertura vegetal foi determinado pela relação entre os pontos com e sem cobertura vegetal.

Este parâmetro visa a caracterização da superfície do experimento.

4.6.2 - Perfil superficial do solo

Antes de passagem do conjunto trator-implemento, com o uso de piquetes de madeira cravados até o nível da superfície do solo, demarcou-se o local de posicionamento do perfilômetro de hastas em cada parcela do experimento.

Com a utilização do perfilômetro de hastas, construído por SOUZA (1989), pode-se descrever, através de pontos discretos, o perfil superficial do solo antes de sua mobilização pelo arado.

O perfilômetro compõe-se de 40 hastas verticais igualmente espaçadas de 0,035 m (centro a centro das hastas) acomodadas numa estrutura metálica fixada de uma réqua

graduada em centímetros para determinação da cota de altitude de cada ponto do perfil do solo sob a haste.

4.6.3 - Perfil sub-superficial do solo

Removendo-se manualmente o solo mobilizado em cada parcela e posicionando-se o perfilômetro de hastas no mesmo local, orientado pelos piques de madeira do item anterior, pode-se então determinar o perfil sub-superficial do solo após a passagem do arado.

Os dados coletados nos itens 4.6.2 e 4.6.3 foram implantados em uma planilha eletrônica e, através delas, mesmos, obteve-se a área mobilizada juntamente com a profundidade média de solo arado em cada parcela.

A profundidade média foi obtida pela média aritmética das diferenças de cotas entre o perfil superficial e o sub-superficial, representando portanto, a profundidade efetiva de trabalho do arado.

Cabe ressaltar que a área mobilizada assim obtida compreende duas passadas do arado em cada parcela ou seja, uma primeira passada para abertura do sulco inicial que deverá orientar a roda traseira do trator e a segunda passada onde tem-se a operação do arado nivelado em relação à superfície do solo.

4.6.4 - Tamanho dos torrões de solo mobilizado

Utilizou-se o método de GILL & VANDEN BERG (1968) adaptado por GAMERO (1989) para se avaliar quantitativamente o grau de mobilização do solo resultante de cada tratamento.

Este método é descrito como segue: uma amostra de solo mobilizado é coletada em uma caixa de papelão e é seca em estufa a 105° C por 24 horas. Em seguida, o solo é peneirado num conjunto de peneiras de malhas com aberturas de: 101,50 - 76,20 - 50,00 - 25,40 - 19,05 - 12,70 - 6,35 - 3,36 mm. Com o peso de solo retido em cada peneira, calcula-se:

a) Percentagem de torrões retidos por classe de tamanho $W_i(\%)$

$$W_i(\%) = W_i * 100 / \text{SOMAT}(W_i)$$

onde: $W_i \rightarrow$ peso retido na classe de tamanho de índice "i" onde "i" varia de 1 até N (número de peneiras);

b) Diâmetro Médio Geométrico (DMG)

$$\text{DMG}(\text{mm}) = \text{antilog}(\text{SOMAT}(W_i * \log(d_i)) / \text{SOMAT}(W_i))$$

onde: $d_i \rightarrow$ tamanho médio da classe de índice "i" (mm);
i \rightarrow índice que varia de 1 até N (número de peneiras);

c) Módulo de Fimura (MF)

$$MF = SDMAT(Wi(\%) \text{ acumuladas}) / 100.$$

Como foram realizadas três repetições para cada tratamento, os valores de peso de solo retido em cada peneira (Wi) são representados pela média aritmética dos $Wi(s)$ relativos aos blocos I, II e III do experimento.

4.6.5 - Esforços desenvolvidos na aração

Com a utilização de um Dinamômetro de Engate de Três Pontos (DGP), foi possível determinar as três componentes da força num arado de aivecas e seus respectivos comportamentos durante a aração juntamente com os momentos associados em relação ao três eixos ortogonais de referência do DGP.

4.6.6 - Ângulo de inversão do solo

Foi observado através de uma metodologia sugerida e discutida durante a realização do Plano de Pesquisa da presente Dissertação de Mestrado.

Construiu-se um transferidor graduado a cada 5° dotado de uma régua indicadora do ângulo de inversão do solo.

O transfaridor foi cravado na parede externa de solo mobilizado pelo arado e seu valor foi lido. Vide FIGURA 2.

4.7 - Sistema de Ensaio

Compreende basicamente um trator, dinamômetro de engate de três pontos e o arado de arvendas.

4.7.1 - Trator

Características principais:

- marchas: CBT;
- modelo: 8240;
- tração: 4x2 - s/bloqueio do eixo;
- motor: diesel 62 Kw a 2100 rpm;
- bitola traseira: ajustada para 1,00 m;
- peso em ponto de marcha: 4800 kg.

FIGURA 3.

4.7.2 - Dinamômetro de Engate de Três Pontos (DGP)

Acoplado entre o trator e o implemento possibilitando a medição das forças e momentos resultantes da operação de preparo do solo.

Maiores detalhes sobre os resultados e características, modo de operação e dados fornecidos em referências no Capítulo 5 e são observados nas FIGURAS 4, 5 e 6.

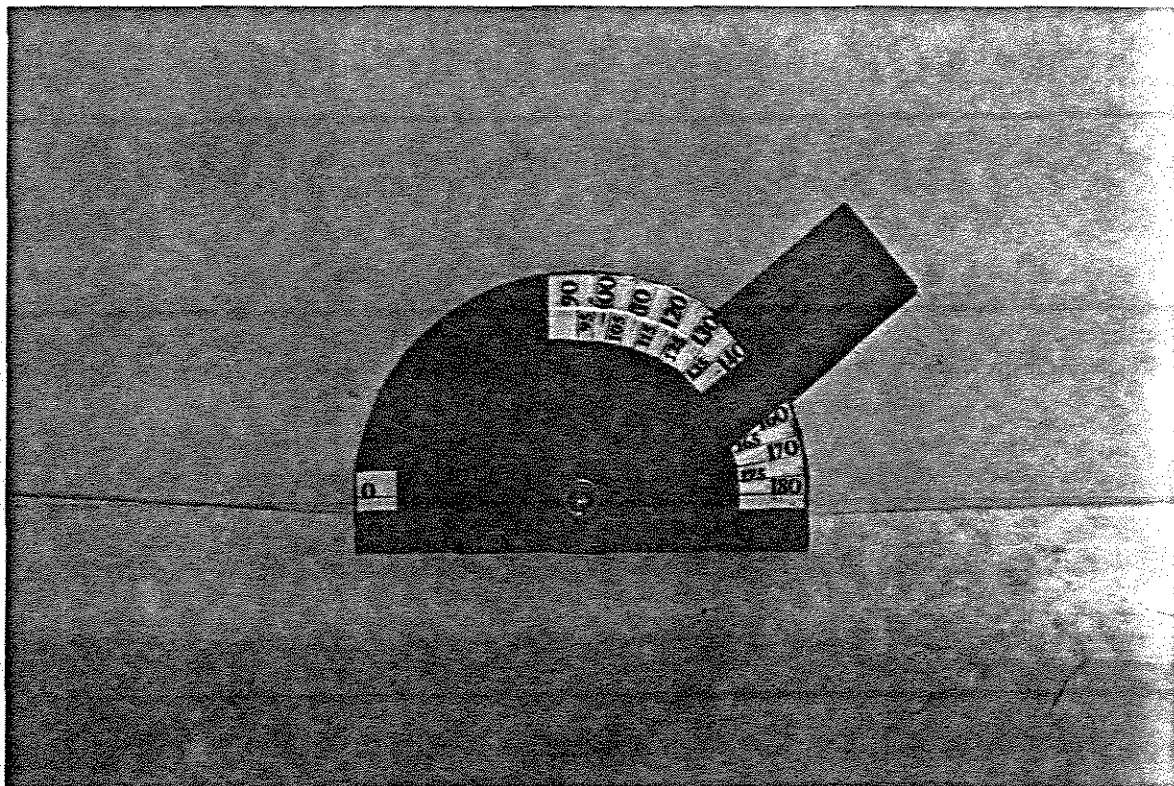


FIG. 2: Transferidor para determinação do ângulo de inversão

4.7.3 - Arado

- Características observadas e medidas no implemento:
- marca: IKEDA;
- modelos: AIV-2R ou MF-2R;
- ferramentas: duas sivascas de superfície reatorada com formato semi-helicoidal;
- altura vertical: 8 mm;
- comprimento laboratório: 50 cm;

- Brisa: 1 m/s e temperatura: 20°C;
- Sinalo de direção: 43P;
- Comprimento de rebites: 0,50 m;
- Largura de corte da ferramenta: 0,75 m;
- Largura de corte do implemento: 0,40 m;
- Anchoeamento do rotores: 0,40 m;
- Roda de controle de profundidade: 0,60 m de largura e 0,75 cm de diâmetro extenso (material: aço);
- Peso total do trator: peso = 421 kg, potência disponível na barra = 52,7 Kw e largura de corte total = 1,15 m;
- Arandelas tubular de seção quadrada vazonada;
- Cabeça de arroz montando fixo;



FIG. 3: Trator utilizado no experimento de campo



FIG. 4: Vista geral do arado de sivecas

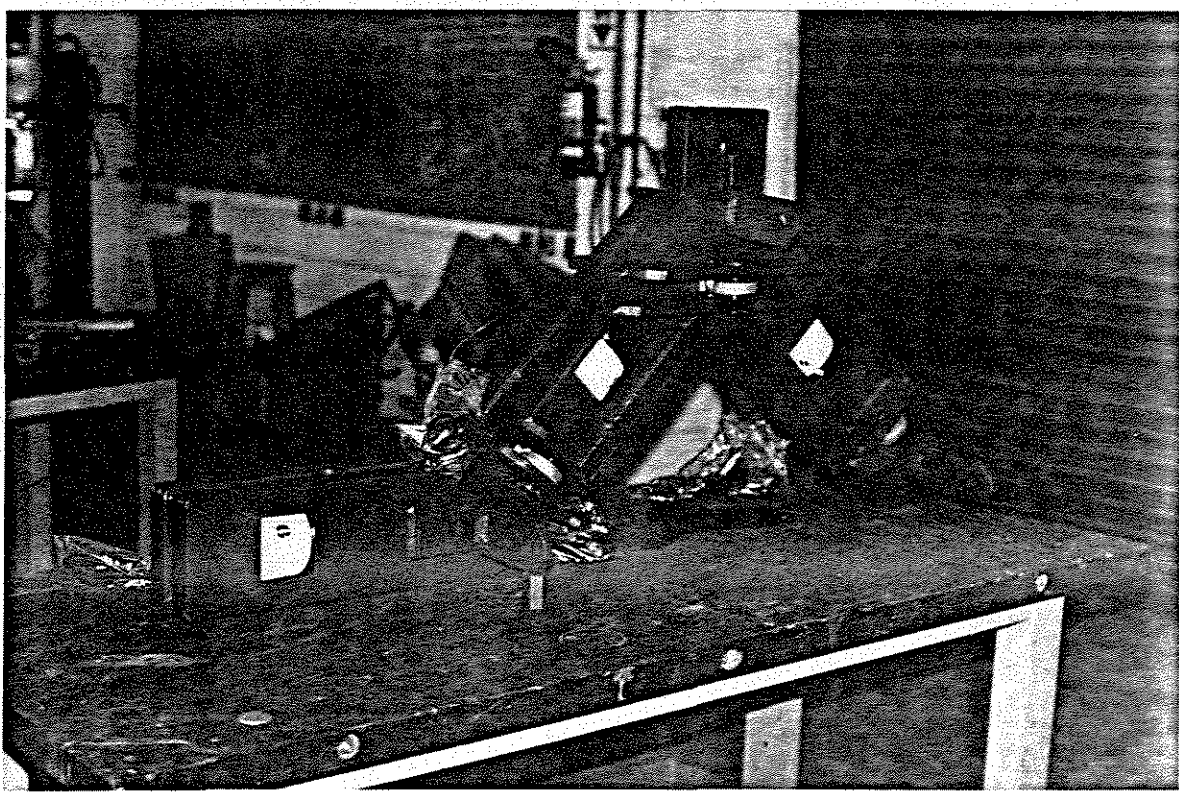


FIG. 5: Vista geral do PGP

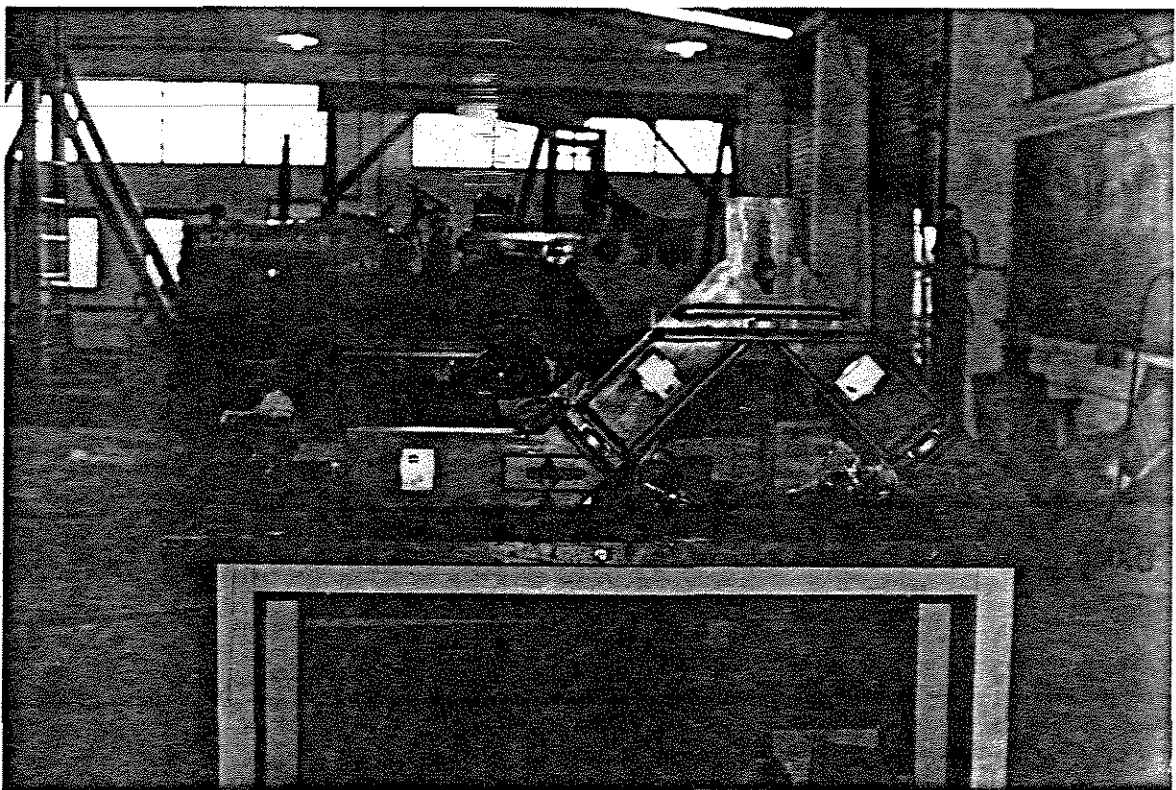


FIG. 6: Vista frontal do DGP - lado do implemento

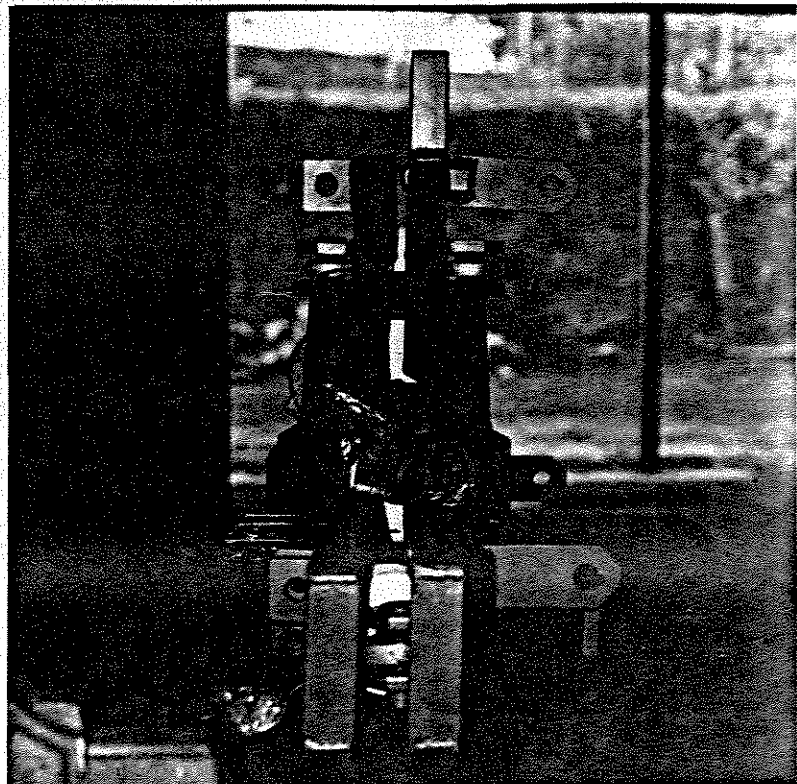


FIG. 7: Vista lateral do DGP

c) Freqüência de amostragem da tensão

Utilizou-se um módulo Coordenador de Sinais para aquisição dos dados. Tensão com o PGP, um gravador de fita magnética para registrar os dados, fonte de alimentação de gerador e uma bateria de 12VDC para alimentação do gerador durante a gravação.

a) Módulo Coordenador de Sinais

O módulo de coordenação dos sinais é o tipo 3000 da Marconi, que é capaz de registrar 10 canais de voltagem em cada dispositivo, sendo 5 canais de tensão e 5 canais de corrente. As tensões registradas são de 0 a 1000VDC e as correntes de 0 a 10A. A tensão de alimentação é de 12VDC e a saída é feita por meio de conectores tipo D-Sub. A tensão de voltagem obtida da célula. Uma visão geral pode ser observada através da FIGURA 8 e maiores detalhes podem ser vistos no item 5.2.

b) Gravador de fita magnética

Foi utilizado um gravador de fita K-7 da marca KYOWA, modelo 6151C-B, de alta fidelidade, sendo este canal para o registro das amperímetras armazenar os voltagens das células em um canal para registrar a tensão da bateria. Veja FIGURA 9.

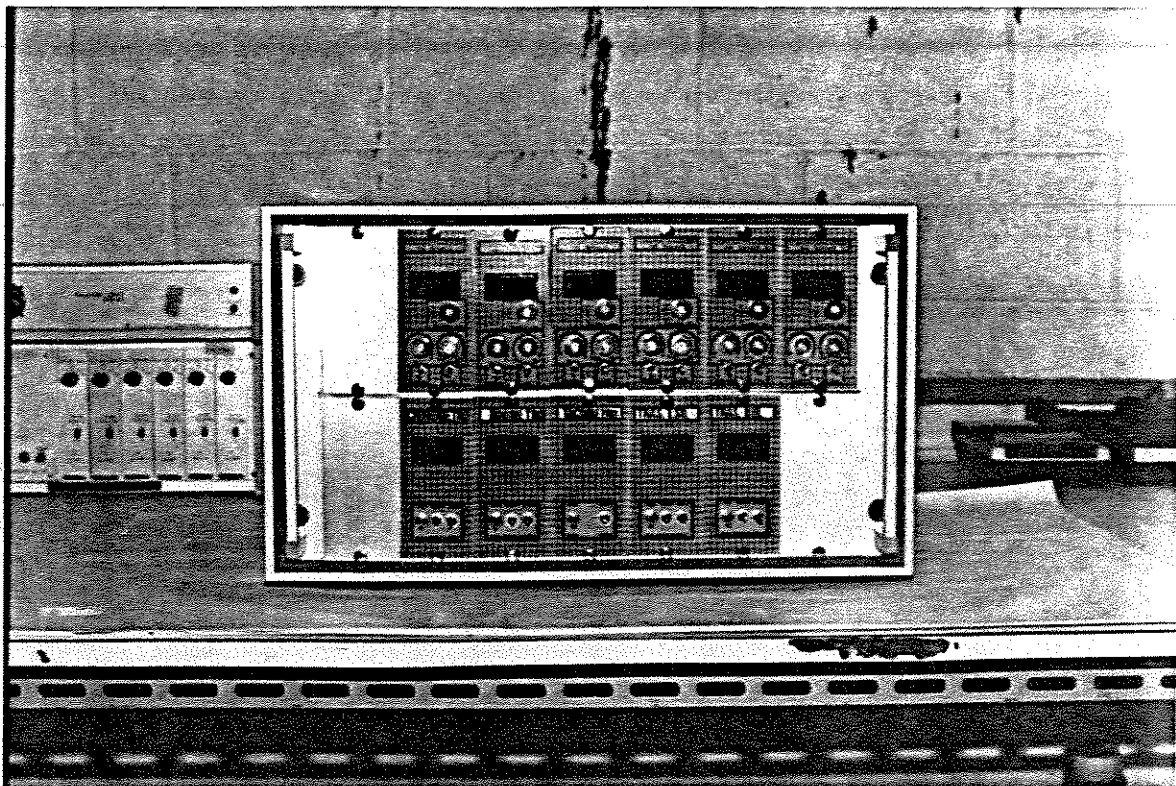


FIG. 18: Condicionadores de Sinais do DSP

Este gravador é adequado para uso em ambientes de veículos "off road".

A fita k-7 utilizada é do tipo comercialmente disponível para gravadores de áudio e sua velocidade foi ajustada para 9,52 cm/s. Características principais:

- alimentação: 12 V DC, 3,9 A;
- gravação e reprodução de sinais DC com até 5 kHz;
- velocidades da fita: 19,05, 9,52 e 1,90 cm/s;
- relações sinal/ruído: 46 dB a 9,52 cm/s e 42 dB a 1,90 cm/s;
- sinal de saída: 1-10 V DC com 1000 ohms;
- não linearidade: $\pm 1\%$.



FIG. 9: Gravador de fita K-7 para registrar os sinal de DIF

c) Fonte de alimentação do gravador

Acompanha o gravador, uma fonte de alimentação com entrada de 110 V CA e saída de 12 V CC, conforme FIGURA 10.

Para sua utilização, empregue-se um conversor de 12 V CC para 110 V CA que, conectado à fonte, possibilita a alimentação do gravador à partir da bateria do trator.

d) Bateria

Utilizar-se-á uma bateria de 12 V CC e 30 Ah para alimentação do K-7. O dimensionador de bateria deve ser igual ou

Poderemos dizer que a tensão de saída é dividida em duas partes: a tensão de saída gerada pelo gerador.

Então, a tensão de saída é a soma das tensões geradas pelas máquinas sincronas e as tensões geradas pelos condensadores e induktâncias. Condicionando as máquinas sincronas ao mesmo regime, a tensão gerada pelo gerador.

4.7.5 - Tensão de saída:

Fazendo assim o cálculo dessa tensão, ficaria da seguinte forma: tensão gerada pelo gerador mais a tensão gerada pelas máquinas sincronas.

Para obtermos a tensão de saída, utilizaremos o modelo EOL7105, que fazemos a seguinte operação: tensão gerada pelo gerador + tensão gerada pelas máquinas sincronas.

- subtração entre a tensão gerada pelo gerador e a tensão gerada pelas máquinas sincronas na faixa de -5 a +5 V DC;
- resolução da faixa: 12 bits;
- limite da proteção das entradas: +/-30 V DC;
- tipo de conversão A/D: aproximação sucessiva;
- tempo de conversão: 20 microsegundos;
- precisão: 0,015% da faixa útil, ou seja, 1 mV.

4.7.6 - Implementação da tensão Gerada automaticamente:

O gerador de tensão é dividido em três partes: a tensão de saída, a tensão de conversão e a tensão de referência.

As vibrações causadas pelo rodar do deslocamento do trator sobre o terreno.

Com o fim de isolar-las das vibrações, construiu-se uma grande estrutura dourada de um superposto de cinco de borracha que, fixada ao trator, atenuavam as vibrações e seus efeitos danosos aos operários de máquinas regulares.

5 - DINAMÔMETRO DE ENFRETE DE TRÊS PONTOS (D3P)

Solicitado pelo IAPAR - Instituto Agronômico do Paraná, o D3P foi projetado e desenvolvido na Faculdade de Engenharia Agrícola da UNICAMP, pela equipe composta pelos professores Neleon L. Capelli, Claudio B. Sverzut e pelo acadêmico Geraldo Ferrabti, com recursos financeiros da Fundação Tropical/IAPAR.

5.1 - Princípios de funcionamento

Baseia-se no projeto desenvolvido por SMITH & BAKER (1982) e constitui-se basicamente de seis células de cargas axiais, fixadas e dispostas entre duas estruturas metálicas, responsáveis pela união trator-células-implemento, de modo que suportam as forças e momentos associados gerados por implementos montados em operação.

O D3P, projetado e desenvolvido pela FEAGRI, possui uma inovação na geometria de sua estrutura. Esta inovação é representada pela localização da célula nº 6 que permite o

ensaio de máquinas agrícolas que necessitam do uso da tomada de potência do trator (TOP).

As células da carga possuem extremidades rotuladas, evitando-se assim, a transmissão de momentos ao seu interior. Portanto, estão sujeitas apenas a cargas axiais de tração ou compressão.

Na FIGURA 10 tem-se um esquema simplificado onde podemos observar a disposição das células, convenções dos eixos ortogonais e principais dimensões.

B.2 - Determinação das forças atuantes no implemento

Fazendo-se uma análise estática das somatórias das forças nas direções x, y e z tem-se:

$$\text{Força de Tração: } F_x = F_1 + F_3 + F_5$$

$$\text{Força Lateral: } F_y = (F_2 - F_4) * \cos \beta + F_6$$

$$\text{Força Vertical: } F_z = -(F_2 + F_4) * \sin \beta$$

onde: $F_1, \dots, F_6 \rightarrow$ forças atuantes nas células 1 a 6 respectivamente;

$\beta = 45^\circ \rightarrow$ ângulo formado entre as direções que contêm as células 2 e 6 ou 4 e 6.

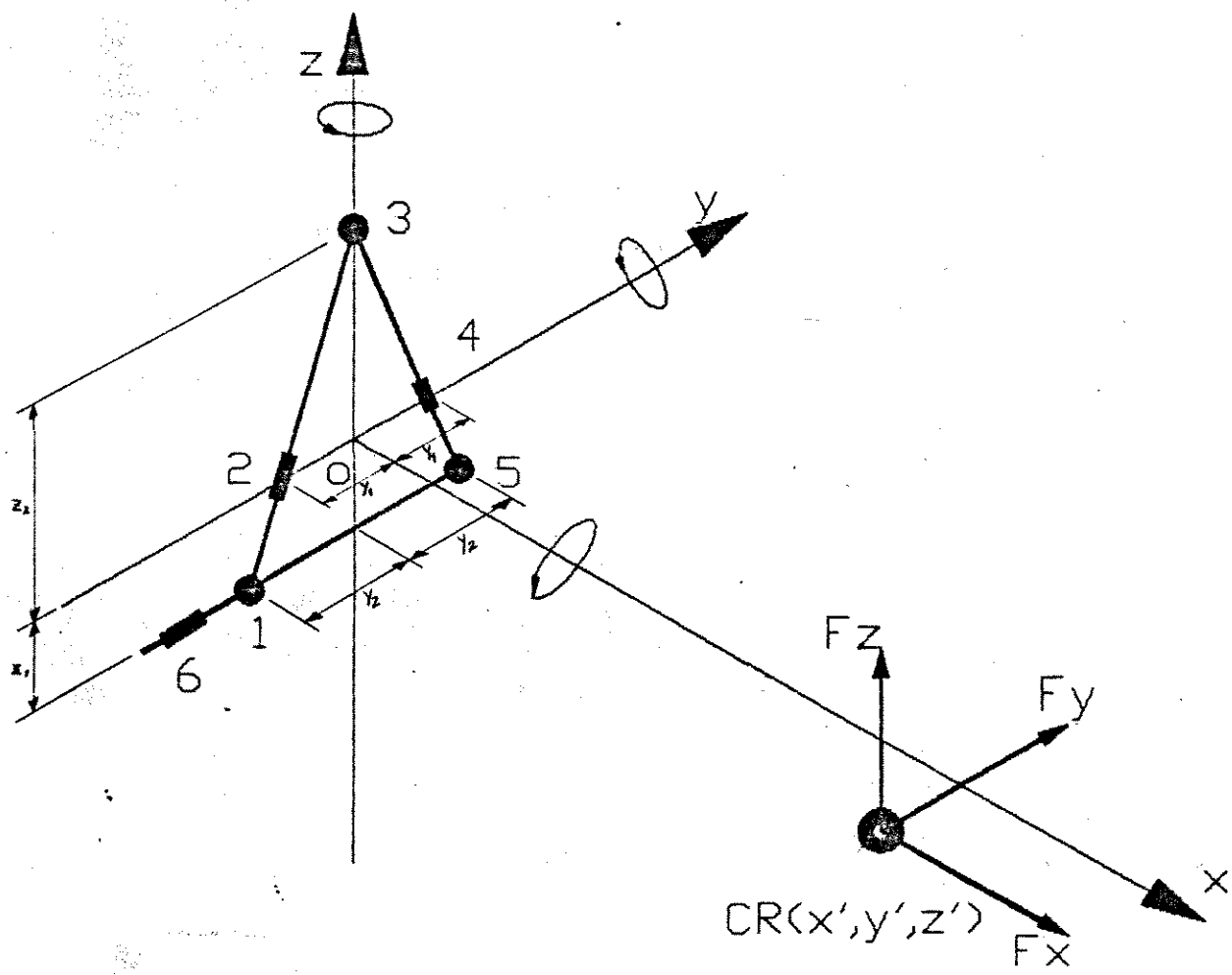


FIG. 10: Esquema simplificado do DGP

onde: $y_1 = 0,24 \text{ m}$ $z_1 = 0,20 \text{ m}$

$y_2 = 0,38 \text{ m}$ $z_2 = 0,12 \text{ m}$

Para se obter F_1 , por exemplo, faz-se a leitura do mostrador digital do condicionador de sinal respectivo, durante as determinações de campo, em seguida aplica-se a curva de calibração da célula e finalmente, encontra-se F_1 .

... Proceder-se análogamente para encontrar F_2, \dots, F_6 .

Neste trabalho, os dados obtidos em campo foram posteriormente digitalizados e as leituras médias dos condicionadores foram obtidas através de uma planilha eletrônica.

Este procedimento possibilita a aquisição de dados mais representativos dos testes de campo, visto que, as forças suportadas pelas células são dinâmicas.

5.3 - Determinação dos momentos associados

Com os valores de F_1 a F_6 e os parâmetros geométricos do DGP pode-se obter os momentos associados às forças por:

$$M_x = 0,17*(F_4-F_2) + 0,20*F_6$$

$$M_y = 0,12*F_3 - 0,20*(F_1+F_5)$$

$$M_z = 0,381*(F_1+F_5)$$

5.4 - Determinação do Centro de Resistência (CR) das forças atuantes no implemento

Supondre que conhecemos os vetores no espaço tri-dimensional:

$F = (F_x, F_y, F_z) \rightarrow$ vetor força resultante;

$M = (M_x, M_y, M_z) \rightarrow$ vetor momento resultante.

E queremos conhecer o vetor posição:

$P = (x', y', z') \rightarrow$ centro de resistência do implemento.

Tam-se, fisicamente, que o momento é o produto de uma força por uma distância da mesma a um dado sistema de referência (O).

E que, matematicamente, no espaço tri-dimensional, o produto vetorial representa a grandeza física momento, ou seja:

$$F \times P = M$$

Pela fórmula desenvolvida de Laplace, tem-se simbolicamente:

$$\begin{array}{c} F \times P = \\ \hline F_x \quad F_y \quad F_z \\ x' \quad y' \quad z' \end{array}$$

onde: $i, j, k \rightarrow$ base de vetores unitários ortogonais.

Desenvolvendo-se e igualando-se a M, tem-se:

$$\begin{bmatrix} 0 & -F_z & F_y \\ F_z & 0 & -F_x \\ -F_y & F_x & 0 \end{bmatrix} \cdot \begin{bmatrix} x' \\ y' \\ z' \end{bmatrix} = \begin{bmatrix} M_x \\ M_y \\ M_z \end{bmatrix}$$

A matriz dos coeficientes do sistema linear possui determinante nulo. É portanto, o sistema linear é do tipo Incompatível ou seja, não admite solução.

E mais, os métodos matemáticos para redução à forma escada levam à obtenção de equações que são múltiplas entre si, confirmando o teorema do determinante nulo.

Portanto, não é possível determinar o centro de resistência (CR) de um implemento, utilizando-se o DGP.

5.5 - Determinação do peso do implemento

Utilizando-se o DGP com o arado suspenso e em repouso, pode-se determinar o peso do implemento.

As leituras fornecidas em mV pelas células C1 a C6 respectivamente foram: -189, 191, 416, 117, -205 e -664.

Estes valores, quando substituídos nas respectivas curvas de calibração fornecem:

$$\begin{aligned} F_1 &= -832,10 \text{ kgf}, & F_2 &= 391,17 \text{ kgf}, & F_3 &= 1672,00 \text{ kgf}, \\ F_4 &= -235,04 \text{ kgf}, & F_5 &= -825,32 \text{ kgf}, & F_6 &= -120,79 \text{ kgf}. \end{aligned}$$

Determinando-se as três componentes de forças, tem-se:

$$F_x = 14,46 \text{ kgf}, \quad F_y = 20,39 \text{ kgf}, \quad F_z = -442,80 \text{ kgf}.$$

Atribui-se o valor não nulo de F_x a dois fatores:

- a) pequenos desvios nos ajustes de ganho e balanço das células;
- b) sensibilidade cruzada do DGP.

Atribui-se o valor não nulo de F_y a três fatores:

- a) pequenos desvios nos ajustes de ganho e balanço das células;

- b) sensibilidade cruzada do DGP;
- c) centro da gravidade (CG) do arado deslocado em relação ao eixo de simetria longitudinal (eixo x) do DGP.

Quantificar a contribuição de cada um destes fatores requer o levantamento da sensibilidade cruzada do DGP.

Porém, este levantamento foge ao escopo desta Dissertação de Mestrado.

Possivelmente, pesquisas futuras viabilizarão a avaliação da sensibilidade cruzada do DGP e certamente fornecerão subsídios sobre a precisão dos dados de forças e momentos apresentados nesta Dissertação de Mestrado.

O valor de F_x aferido pelo DGP ($F_x = -442,80 \text{ kgf}$) é 5,2% superior ao peso fornecido pelo fabricante ($421,00 \text{ kgf}$) e pode-se atribuir este desvio aos fatores anteriormente citados.

5.6 - Determinação do centro da gravidade do implemento (CG)

Com o arado suspenso, em repouso e desprezando-se os valores já apresentados de F_x e F_y para esta situação, pode-se determinar a coordenada x' do CG por:

$$x' = (M_y/F_z) - S$$

onde: M_y e F_z \rightarrow dados fornecidos no item 5.5;

$S = -0,30 \text{ m} \rightarrow$ distância acrescida na direção do

eixo e entre o engate da traseira e os pontos do trator e o implemento, devido ao DGP.

Substituindo-se, temos $x' = 0,88$ m.

(obs.: comprimento longitudinal do arado: 1,70 m)

5 - RESULTADOS E DISCUSSÃO

5.1 - Velocidades de deslocamento do implemento

Pela TABELA 4 podem-se observar as velocidades de deslocamento do arado desenvolvidas nos testes de campo. A maior velocidade de deslocamento (6,26 km/h) é inferior à sua magnitude máxima desejada para fins de testes (8,00 km/h). Isto sugere que seria mais adequado o uso de um trator 4x4 mais potente para a realização dos testes de campo.

TAB. 4: VELOCIDADES DE DESLOCAMENTO (km/h)

TRAT	PROF. cm	BL000 I	BL000 II	BL000 III	MÉDIA (km/h)
1	15	2,98	2,98	3,13	3,03
2	15	3,72	4,18	4,24	4,05
3	15	4,63	5,55	5,33	5,17
4	15	6,93	5,83	6,02	6,26
5	25	2,89	3,46	3,41	3,25
6	25	3,46	4,18	3,92	3,83
7	25	4,25	4,58	4,38	4,40
8	25	4,59	5,19	5,54	5,11

TRAT. 1 a 4 \Rightarrow $V_m = 4,63 \text{ km/h}$ e $CV = 28,31\%$

TRAT. 5 a 8 \Rightarrow $V_m = 4,15 \text{ km/h}$ e $CV = 18,67\%$

6.2 - Profundidade de aração

Pode ser observada pela TABELA 11. A profundidade de aração não foi satisfatoriamente variada em dois níveis diferentes (0,15 e 0,25 m).

Atribui-se esta ausência de controle da profundidade aos seguintes fatores:

- O trator operou com o sistema de reação hidráulica do berçoiro ponto ativado;
- A grande quantidade de cobertura vegetal (93%) sobre a área experimental.

TAB. 11: PROFUNDIDADE DE ARAÇÃO (m)

TRAT. Nº	BLOCO			MÉDIA (m)
	I	II	III	
1	0,232	0,153	0,150	0,178
2	0,157	0,193	0,129	0,160
3	0,192	0,123	0,147	0,154
4	0,265	0,136	0,136	0,179
5	0,191	0,189	0,105	0,162
6	0,238	0,219	0,128	0,195
7	0,204	0,248	0,160	0,204
8	0,178	0,180	0,154	0,171

$$\text{MÉDIA} = 0,175 \text{ m} \quad - \quad \text{CV} = 24,47\%$$

6.3 - Cobertura vegetal

Pela TABELA 5 verifica-se que a cobertura vegetal apresentava-se homogênea em toda a área do experimento com cerca de 93%.

TAB. 5: PERCENTUAIS DE COBERTURA VEGETAL E TESTE DE TUKEY

TRAT. Nº	BLOCO			MÉDIA (%)	ALFA (1%)	ALFA (5%)
	I	II	III			
1	96	100	92	93	a	a
2	95	98	95	93	a	a
3	93	95	97	95	a	a
4	98	95	97	93	a	a
5	98	93	82	91	a	a
6	96	98	92	92	a	a
7	88	96	99	91	a	a
8	95	95	93	94	a	a

MÉDIA = 93% - CV = 4,60%

6.4 - Ângulo de inversão do solo

Pela TABELA 6 constata-se um ângulo de inversão médio de 149° e nenhuma variação em função dos tratamentos executados.

6.5 - Área de solo mobilizado

Através do TABELA 7 pode-se concluir que a área mobilizada não variou entre os tratamentos para ambos os níveis de significância do teste de Tukey. Esperava-se este

resultado visto que o controle de profundidade da operação não foi satisfatório.

TAB. 6: ANGULO DE INVERSAO DO SOLO (°) E TESTE DE TUKEY

TRAT. Nº	BLOCO			MÉDIA (°)	ALFA (1%)	ALFA (5%)
	I	II	III			
1	160	155	150	155	a	a
2	155	155	150	153	a	a
3	155	146	146	145	a	a
4	165	135	155	152	a	a
5	140	150	150	147	a	a
6	138	145	150	142	a	a
7	160	150	145	152	a	a
8	150	150	140	147	a	a

MÉDIA = 149° - CV = 5,60%

TAB. 7: ÁREA MOBILIZADA DO SOLO (m²) E TESTE DE TUKEY

TRAT. Nº	BLOCO			MÉDIA (m²)	ALFA (1%)	ALFA (5%)
	I	II	III			
1	0,1623	0,1072	0,1054	0,1250	a	a
2	0,1100	0,1354	0,0907	0,1121	a	a
3	0,1343	0,0862	0,1016	0,1079	a	a
4	0,1856	0,0953	0,0949	0,1253	a	a
5	0,1340	0,1324	0,0739	0,1134	a	a
6	0,1672	0,1534	0,0895	0,1367	a	a
7	0,1426	0,1737	0,1123	0,1429	a	a
8	0,1246	0,1225	0,1076	0,1194	a	a

MÉDIA = 0,1221 m² - CV = 24,26%

A área mobilizada não diferiu significativamente em função da profundidade e velocidade de deslocamento. Porém constatou-se que suas médias variaram entre os blocos.

5.6 - Força de tração do implemento (Fy)

No TABELA 6 observou-se a força de tração para todos os tratamentos variou eletrótronicamente e apresentou uma média global de 1250 kgf.

Poder-se-á atribuir este resultado à resistência finita da velocidade das engrenagens devido ao fator de escala e/ou tipo e condições do solo localizadas experimento de campo.

Na figura 7 é mostrado o resultado da magnitude da força de tração em função da velocidade de rotação da engrenagem.

O comportamento da força de tração pode ser visto através dos ANEXOS 1 a 8 para os tratamentos do bloco I.

5.7 - Força lateral do implemento (Fy)

Pela TABELA 9, observou-se a redução magnitude da força lateral obtida no bloco I que não houve variação significativa conforme o tratamento da Tabela. Apresentou um valor médio de 461 kgf para todos os tratamentos.

TAB. 8: FORÇA MÉDIA DE TRAÇÃO F_x (kgf) E TESTE DE TUKEY

TRAT.		BLOCO		MÉDIA	ALFA	ALFA
Nº	I	II	III	(kgf)	(1%)	(5%)
1	1046	1099	949	1031	a	a
2	2591	1561	1202	1785	a	a
3	1282	1045	1181	1169	a	a
4	810	1205	2003	1339	a	a
5	2373	471	560	1135	a	a
6	2328	916	1123	1449	a	a
7	1024	591	694	770	a	a
8	1387	1131	1033	1350	a	a

MÉDIA = 1253 kgf - CV = 45,21%

A Análise de Variância indicou que a força lateral F_y varia em função da velocidade, profundidade, fio e tipo de tratamento entre blocos.

TAB. 9: FORÇA MÉDIA LATERAL F_y (kgf) E TESTE DE TUKEY

TRAT.		BLOCO		MÉDIA	ALFA	ALFA
Nº	I	II	III	(kgf)	(1%)	(5%)
1	-1	-15	1	-5	a	a
2	-49	-22	-47	-39	a	a
3	-59	-73	-124	-85	a	a
4	-52	-5	-109	-55	a	a
5	-92	-46	-13	-51	a	a
6	-58	-13	-68	-36	a	a
7	-59	-14	-57	-43	a	a
8	-82	-27	-40	-50	a	a

MÉDIA = -46 kgf - CV = 62,22%

Através dos ANEXOS 9 a 16 observa-se o comportamento da força lateral para os tratamentos do bloco I. Note que a força lateral oscila entre valores positivos e negativos.

Atribui-se este comportamento ao processo de fissuração do solo, à existência do resto das sementes e ao modo de condução do tratorista que constantemente corrige a direção de deslocamento do arado.

6.8 - Força vertical do implemento (F_z)

Através da TABELA 10, constatou-se que houveram variações da força vertical ao nível de 5% de significância e apresentaram um valor médio de -500 kgf. Este valor médio corresponde à força vertical somada ao peso do arado (442,80 kgf - obtido com a utilização do DGP).

A Análise de Variância indicou que a força vertical é influenciada pela profundidade, velocidade e suas combinações.

Seu comportamento pode ser apreciado nos ANEXOS 17 a 24. Nota-se que o trator operou com a reação do terceiro ponto ativada.

TAB. 10: FORÇA MÉDIA VERTICAL F_z (kgf) E TESTE DE TUKEY

TRAT.	BLOCO			MÉDIA	ALFA (1%)	ALFA (5%)
Nº	I	II	III	(kgf)		
1	-707	-710	-683	-700	a	a
2	-478	-533	-476	-496	b	b
3	-598	-557	-555	-570	b	b
4	-534	-566	-580	-493	b	b
5	-342	-424	-454	-407	b	c
6	-455	-468	-426	-450	b	b
7	-476	-515	-437	-476	b	b
8	-479	-487	-442	-469	b	b

MÉDIA = -508 kgf - CV = 8,32%

6.9 - Diâmetro Médio Geométrico dos torrões.

Através da TABELA 12, observa-se a variação do tamanho dos torrões gerados pelos tratamentos executados.

TAB. 12: DIÂMETRO MÉDIO GEOMÉTRICO DMA (mm) E TESTE DE TUKEY

TRAT.	BLOCO			MÉDIA	ALFA (1%)	ALFA (5%)
Nº	I	II	III	(mm)		
1	27,61	18,89	5,45	17,32	a	a
2	24,93	14,69	12,72	17,45	a	a
3	22,95	21,33	15,51	19,93	a	a
4	16,67	10,24	9,98	12,30	a	a
5	16,61	9,25	5,23	10,36	a	a
6	9,49	19,01	7,00	11,83	a	a
7	16,66	12,55	8,49	12,57	a	a
8	7,1	16,67	9,50	11,09	a	a

MÉDIA = 14,11 mm - CV = 33,69%

Portanto, pela FIGURA 11, observa-se uma tendência de diminuição do tamanho dos torrões em função dos tratamentos.

Portanto, o aumento da velocidade de deslocamento gerou um maior grau de mobilização do solo.

6.10- Densidade aparente seca do solo

Pelos dados coletados e apresentados na TABELA 12, observa-se a homogeneidade da densidade aparente da área experimental.

6.11- Forças e momentos obtidos com o PGP

Pelas TABELAS 13 e 14 são apresentados os dados relativos a todas as parcelas do experimento de campo.

Decidiu-se apresentar vinte e quatro gráficos das forças atuantes no implemento para os tratamentos do bloco I e tabelar os resultados dos blocos II e III por considerar-se desnecessária a apresentação de todos os gráficos.

GRAFICO I: MF e DMG(mm)

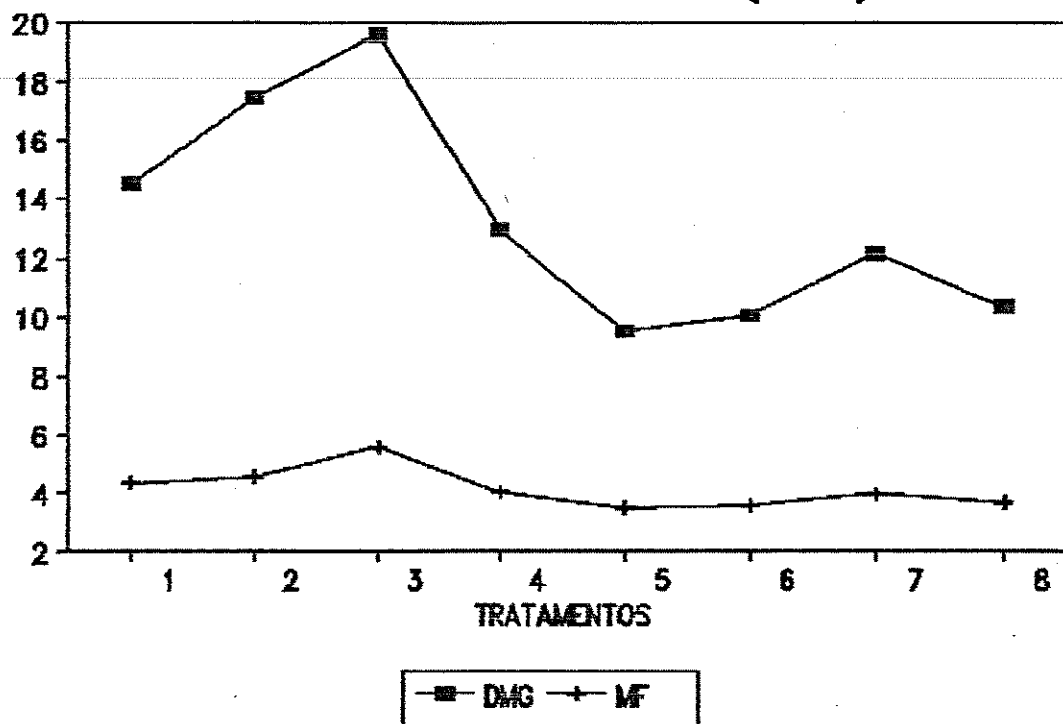


FIG. 11: Gráfico I: DMG e MF

TAB. 13: FORÇAS MÉDIAS (kgf) E MOMENTOS (kgfm).

TRAT.	FORÇAS (kgf)			MOMENTOS (kgfm)		
	Fxm	Fym	Fzm	Mxm	Mym	Mzm
1	1031	-5	-700	43	-906	-344
2	1785	-39	-496	20	-1347	-301
3	1169	-85	-570	-4	-1135	-251
4	1339	17	-493	37	-995	-286
5	1135	-42	-407	57	-1181	-279
6	1449	-28	-450	51	-1243	-325
7	770	-43	-476	59	-1076	-284
8	1350	-50	-469	54	-1242	-331

OBS: Fxm, Fym e Fzm => média aritmética dos blocos I a III;
 Mxm, Mym e Mzm => análogo às forças;

TAB. 14: ESFORÇOS DETIDOS NOS TESTES DE CAMPO

TRAT	BLOCO								
	I			II			III		
	Fx	Fy	Fz	Fx	Fy	Fz	Fx	Fy	Fz
1	2848	189	-1047	3162	190	-1013	1920	144	-962
	1846	-1	-707	1099	-15	-710	949	-1	-683
	652	-203	-184	575	-342	-140	578	-179	-410
	295	61	139	311	69	125	133	50	97
2	7296	156	-877	4726	169	-976	3471	118	-849
	2591	-49	-478	1561	-22	-533	1202	-47	-476
	517	-356	0	542	-319	-113	474	-269	0
	2076	57	215	955	89	169	652	70	163
3	6766	139	-1216	3206	74	-849	2726	269	-834
	1280	-59	-598	1045	-73	-557	1181	-124	-555
	-175	-269	0	474	-237	-339	440	-352	-127
	1022	91	242	412	55	110	430	147	127
4	2582	118	-735	4342	242	-891	7400	409	-693
	812	-72	-534	1205	-5	-566	2003	-109	-390
	314	-321	-255	117	-268	-11	400	-382	-150
	315	69	96	859	75	145	1663	119	327
5	6862	95	-792	1462	102	-636	2622	144	-707
	2373	-92	-342	471	-48	-424	560	-13	-454
	385	-430	-71	12	-230	-255	166	-115	-170
	1469	87	185	176	45	66	328	48	96
6	7197	186	-905	5382	221	-721	3542	96	-764
	2308	-59	-455	916	-16	-468	1123	-38	-426
	-1037	-336	-14	-228	-190	-99	302	-163	-71
	1617	93	181	962	63	113	630	55	130
7	4062	211	-834	954	153	-792	2342	121	-651
	1024	-59	-476	591	-14	-515	694	-57	-437
	351	-222	-113	243	-141	-269	172	-270	-212
	908	60	138	144	45	90	345	53	83
8	5542	192	-806	4142	211	-834	4622	187	-750
	1887	-52	-479	1131	-27	-487	1033	-40	-442
	468	-300	-85	268	-295	-184	354	-191	-127
	1310	92	135	941	73	110	676	65	109

OBS: Em cada célula da tabela tem-se: valor máximo, médio, mínimo e o sinal padrão de cima para baixo.

6.12- Reações do solo sobre o arado

Através do gráfico da FIGURA 39 pode-se observar o comportamento da força de tração (F_x), força lateral (F_y) e vertical (F_z) em função das velocidades desenvolvidas pelo conjunto trator-implemento.

A força de tração apresentou uma tendência de diminuição para velocidades contidas no intervalo de 4,4 a 5,2 km/h. Porém, uma quantidade maior de testes de campo seria necessária para a confirmação estatística desta tendência.

A força lateral do implemento apresentou valores próximos de zero, evidenciando o adequado dimensionamento do rasto das aívecas para exercerem a força de reação necessária ao equilíbrio do arado em operação.

A força de tração sofreu influência da velocidade de trabalho e apresentou valores reduzidos para velocidades contidas no intervalo de 4,4 a 5,2 km/h. Esta tendência foi confirmada pela Análise da Variância.

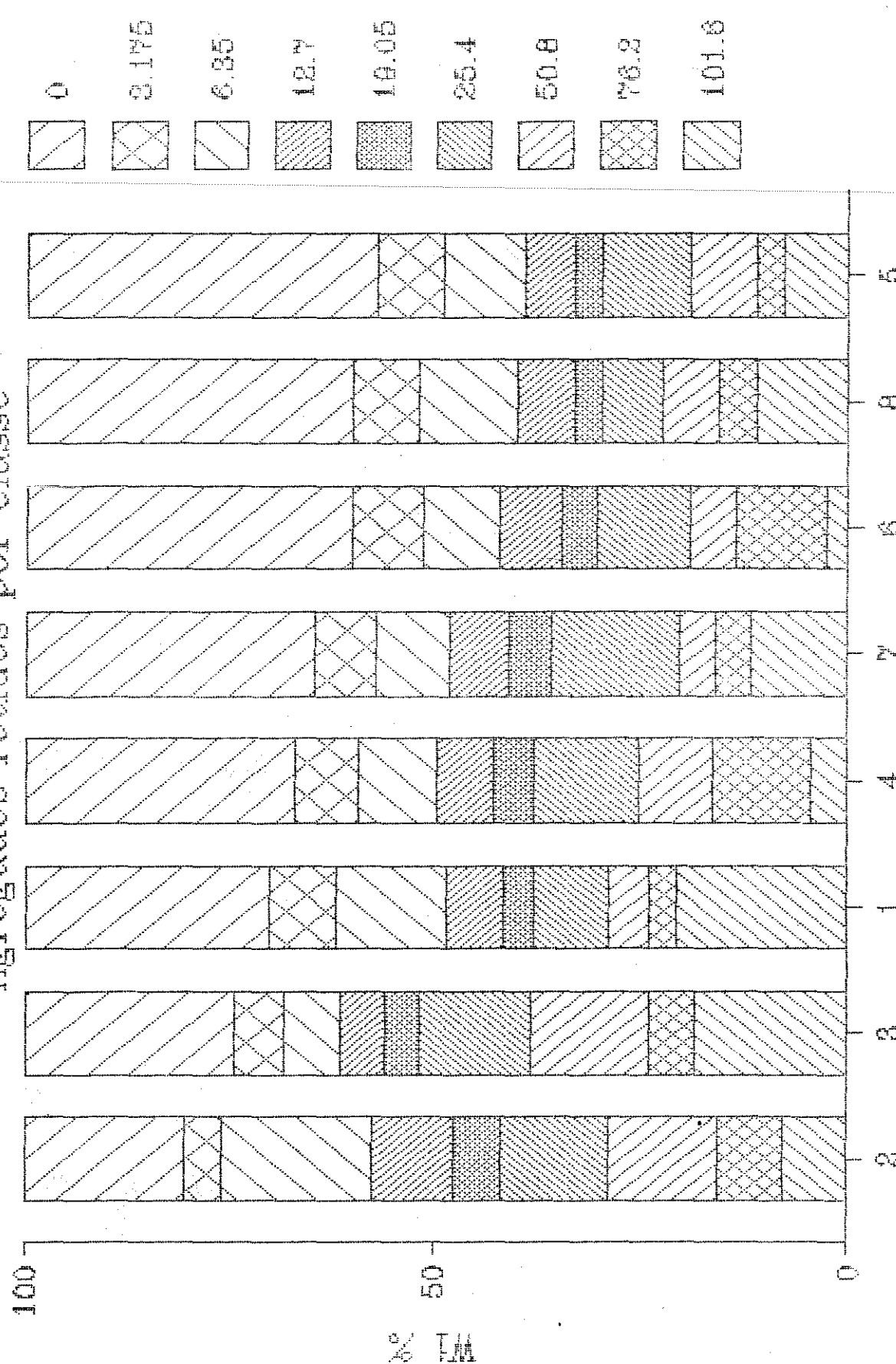
6.13- Distribuição do tamanho dos torrões e agregados por classe

Pela FIGURA 36, observa-se a distribuição dos torrões e agregados por classe de tamanho em ordem crescente dos valores da menor classe de tamanho (0-3,175 mm).

Poder-se observar que os tratamentos T4 e T8, que foram executados com as maiores velocidades de deslocamento, para as profundidades ajustadas de 0,15 e 0,25 m respectivamente, realizaram o mais alto grau de mobilização do solo.

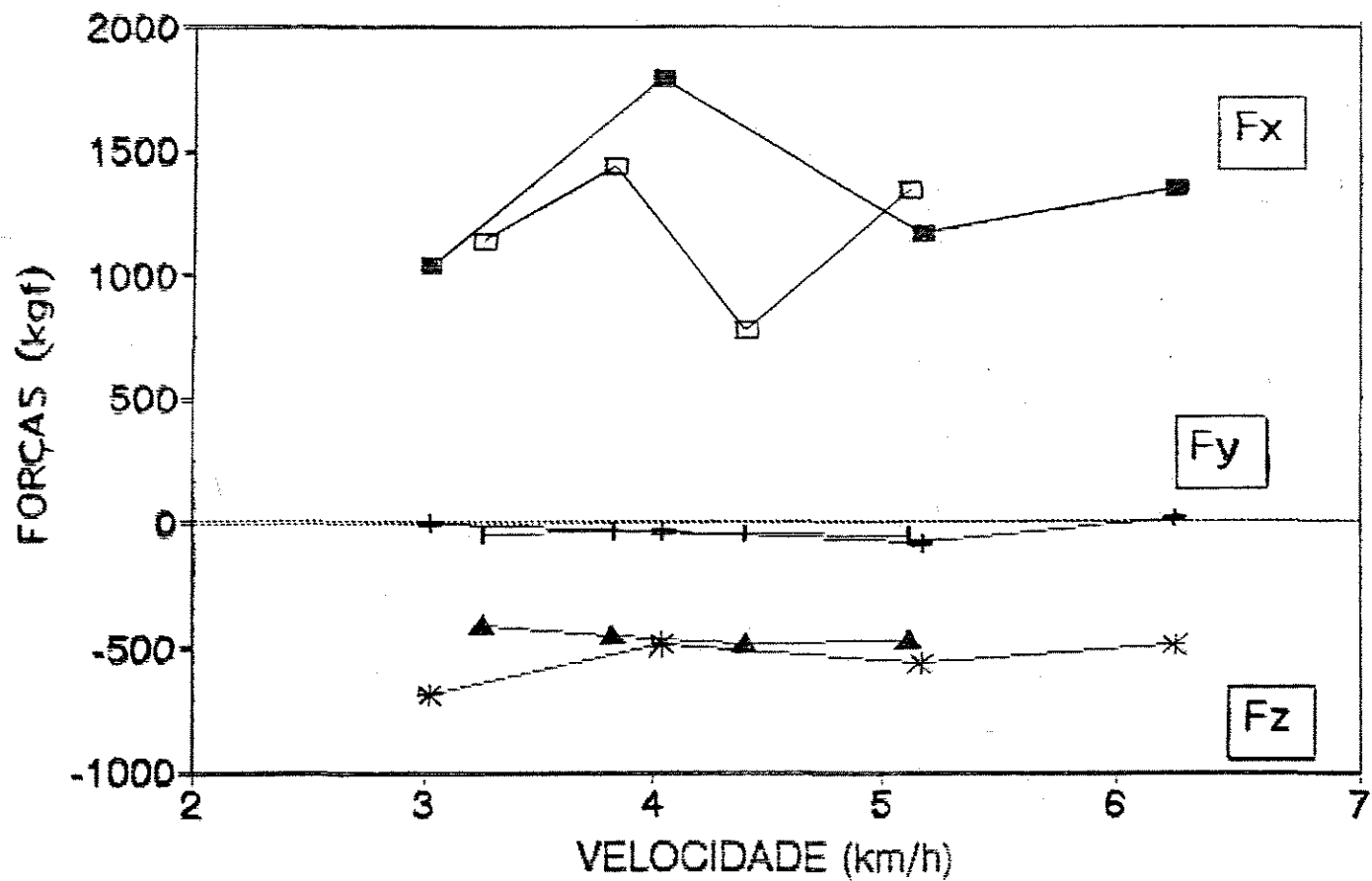
GRÁFICO III.

Aggregados tetídios por classe



TRATAMENTOS

FIGURA 36



**Fig. 39: REACOES DO SOLO
SOBRE O ARADO**

—□— + —▲— profundidade 0.25 m
—■— × —★— profundidade 0.15 m

7 - CONCLUSÕES FINAIS:

A avaliação do desempenho de um arado de aivecas proposta neste trabalho conduziu às seguintes conclusões:

- a) O Diâmetro Médio Geométrico (DMG) do solo não variou significativamente em função das velocidades e profundidades desenvolvidas na aração. Porém, a FIGURA 11 indica uma tendência de diminuição do DMG para a maior velocidade de deslocamento;
- b) A profundidade de operação não afetou significativamente os parâmetros de DMG, área mobilizada e força de tração pois a grande quantidade de cobertura vegetal e a reação hidráulica do terceiro ponto do trator ativada, impediram sua variação nos níveis desejados;
- c) A força vertical do implemento mostrou-se influenciada pela profundidade e velocidade através de Análise de Variâncias;
- d) Poder-se observar uma tendência de redução do esforço de tração para velocidades entre 4,4 e 5,2 km/h;

- e) A força lateral do arado não variou em função da velocidade, da profundidade e mesmo entre blocos. Este fato evidencia um bom equilíbrio das forças laterais exercido pelo rasto das aivecas. Demonstra portanto, um adequado dimensionamento do tamanho do rastro e do parâmetro de suspensão lateral das aivecas;
- h) O ângulo de inversão da leiva de solo não variou em função da velocidade, profundidade e entre blocos do experimento. Este fato pode ser atribuído à metodologia empregada e/ou tipo e condições do solo da área experimental.
- i) A utilização de um trator 4x4 mais potente e um número maior de parcelas experimentais contribuiriam para um melhor delineamento do comportamento do implemento avaliado;

B - ABSTRACT

The performance of a mouldboard plough was evaluated varying the speed of travel and depth of ploughing regarding the size of clouds of the soil, inversion angle, forces and moments upon implement. A Three-Point Linkage Dynamometer was developed and used to measure forces and moments applied during ploughing. The collected datum were: dry bulk density, moisture content, residue crop cover, disturbed soil profile, speed of travel and forces. Reduced values of draft force are obtained by speeds between 4,4 and 5,2 km/h for this type and soil conditions. The clouds size are influenced by increasing the speed of travel among treatments. The lateral force of implement is next to zero, indicating an adequate design of the landside. There weren't variation of inversion angle in respect to the treatments. It may be due to the methodology applied and the type and soil conditions. The vertical force was affected by speed of travel and depth of ploughing. This fact is indicating by Variance Analisys.

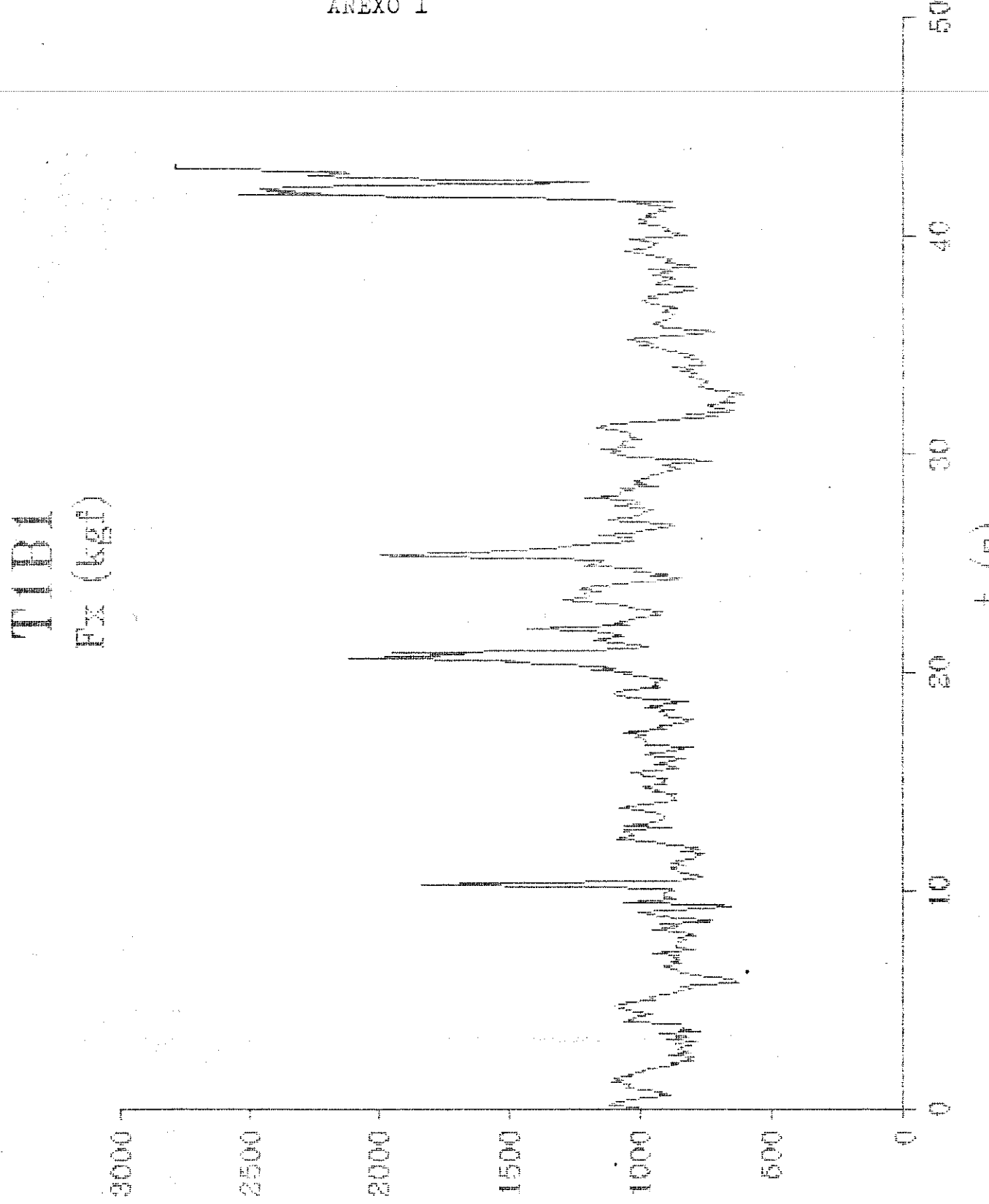
REFERENCIAS BIBLIOGRAFICAS

- BALASTREIRE, L.A. Preparo Peridico do Solo. Instituto Móvel nas Agricolas. 1^a ed., Brasil, Editora Manole Ltda, 1937, Cap. 4, p. 80-100.
- BATEMAN, H.P.; NAIK, M.P.; YOERGER, R.R. Energy Required to Pulverize Soil at Different Degrees of Compaction. *Journal of Agricultural Engineering Research*, 10(2): 132-41, 1965.
- BRASIL. Ministério da Agricultura. Serviço Nacional de Pesquisas Agronômicas. Comissão de Solos. Levantamento de Reconhecimento dos solos do Estado de São Paulo. Rio de Janeiro, 1960, 634p. (Boletim, 12).
- CARLSON, E.O. Plows and Computers. *Agricultural Engineering*, 42: 292-5, 307, 1961.
- CLYDE, A.W. Force Measurements Applied to Tillage Tools. *Transactions of the ASAE*, 4(2): 153-7, 1961.
- COWELL, F.A. & FALLAK, S.S. A Theory for the Dynamic Behavior of Moldboard Ploughs During Penetration. *Journal of Agricultural Engineering Research*, 21(1): 313-23, 1976.
- CULPIN, C. Tillage. In: Farm Machinery. 1^a ed. Great Britain, Collins Professional and Technical books, 1956, Cap. 3, p. 55-60.
- CAMERO, C.A. Desagregação do solo em diferentes métodos de preparo. Apresentado no CONGRESSO BRASILEIRO DE ENGENHARIA AGRÍCOLA, 18, Recife, 1959, 15p.
- GILL, W.R. & MCCREERY, W.F. Relation of Size of Cut to Tillage Tool Efficiency. *Agricultural Engineering*, 42: 372-4, 381, 1960.
- GILL, W.R. & VANDEN BERG, G.E. Soil Dynamics in Tillage and Traction. Washington, United States Department of Agriculture, 511p, 1968.

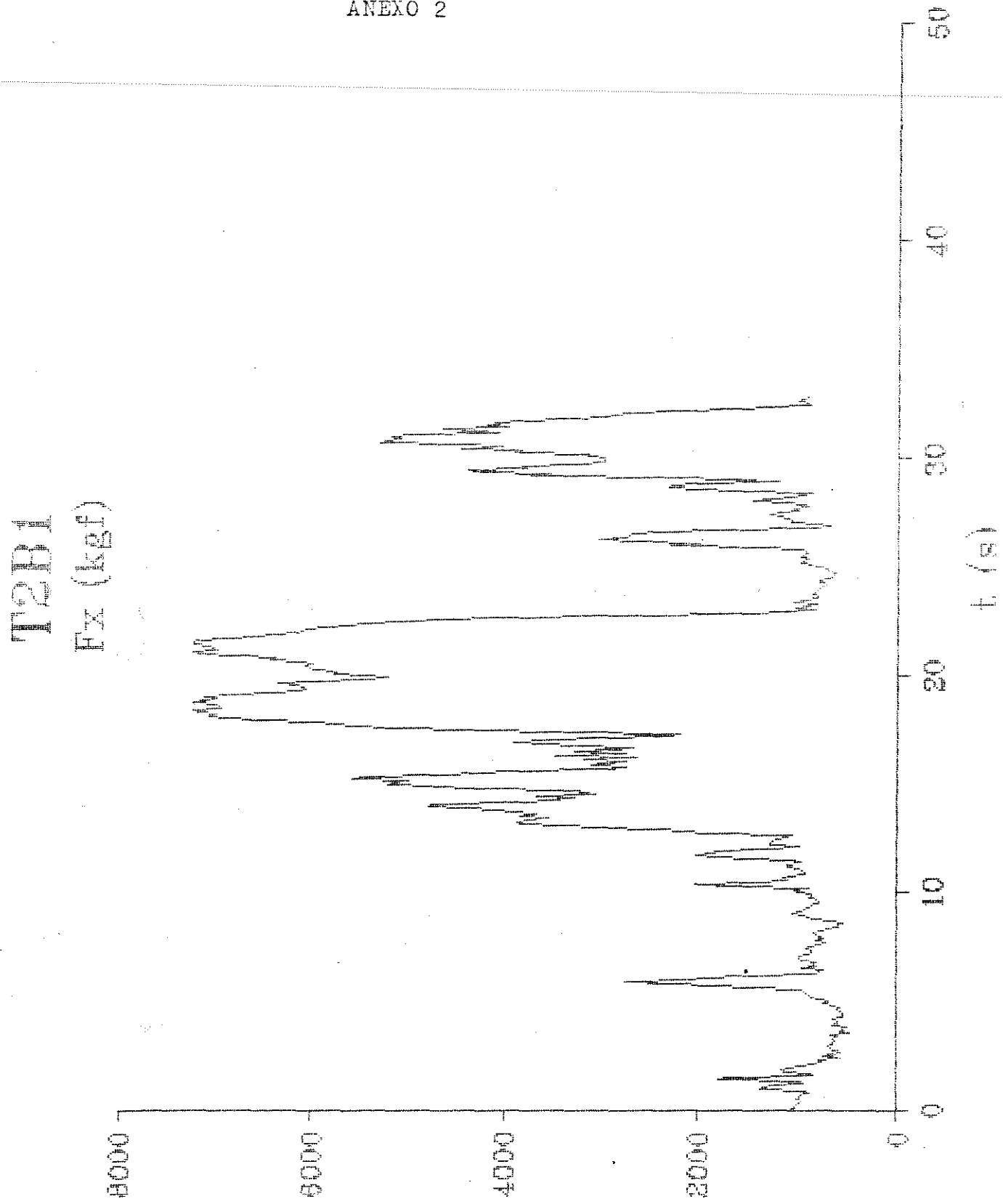
- GIRMAIS, G. Multicomponent Dynamometer to Measure Forces on Plough Bodies. Journal of Agricultural Engineering Research, 42(2):85-6P., 1989.
- JOHNSON, C.E. & VOORHEES, W.B. A Force Dynamometer for Three-Point Hitches. Transactions of the ASAE, 22(2): 226-8, 232, 1979.
- KAUFMAN, L.C. & TOTTEN, D.S. Development of an Inverting Moldboard Plow. Transactions of the ASAE, 15(1): 55-60, 1972.
- KEPNER, R.A. Principles of Farm Machinery. 3 ed. Westport, Conn. Avi, 527P., 1982.
- LAL, R. Measurement of Forces on Mounted Implements. Transactions of the ASAE, 2(1): 109-11, 1959.
- LAFLEN, J.T.; AMEMIYA M.; HINTZ M. Measuring crop residue cover. Journal of Soil and Water Conservation. Ankey, Iowa, v.36, n.6, p341-43, Nov/Dez, 1981.
- MATTOS, P.C. Sistema de Medição de Forças em Engates de Máquinas Agrícolas de Acoplamento por Três Pontos. Tese não publicada para obtenção do título de Doutor junto à Faculdade de Ciências Médicas e Biológicas de Botucatu, 1972.
- MCKYES, E. Soil Cutting and Tillage. in: Soil Cutting Forces. 1 ed., Canada, Elsevier Science Publishers B.V., 1985, Cap.3, p81-3.
- NICHOLS, M.L.; REED, I.F.; REAVES C.A. Soil Reaction to Plow Share Design. Agricultural Engineering, 39: 336-9, 1958.
- O'CALLAGHAN, J.R. & MCCOY, J.G. The Handling of Soil by Mouldboard Ploughs. Journal of Agricultural Engineering Research, 10(1):23-35, 1965.
- PINHO, N.J.F.; SOUZA, M.M.S.; LOPEZ, J.C.; GAMERO C.A. Arado de aivecas: desempenho em função do tamanho das relhas e da presença ou não de fio nas relhas. in: XVIII CONGRESSO BRASILEIRO DE ENGENHARIA AGRÍCOLA, Recife-PE, 1989. Resumo. CNEA/MA.
- QUIDONG, B.; PITT, R.E.; RUINA, A. A Model to Predict Soil Forces on the Plough Mouldboard. Journal of Agricultural Engineering Research, 35(1): 141-55, 1986.
- REID, J.T.; CARTER, L.M.; CLARK, L.R. Draft Measurements with a Three-Point Hitch Dynamometer. Transactions of the ASAE, 28(1):89-93, 1985.

- PICHET, C.B. Design and Development of a Semimounted Reversible Plow. Transactions of the ASAE, 12(4): 519-21, 1969.
- SCHOLTZ, D.C. A three-point Linkage Dynamometer for Mounted Implements. Journal of Agricultural Engineering Research, 9(2):252-8, 1964.
- SCHOLTZ, D.C. A three-point Linkage Dynamometer for Restrained Linkages. Journal of Agricultural Engineering Research, 11(1):33-7, 1966.
- SHIPEN, J.M.; ELLIN C.R.; CLOVER, C.H. Ploughs. in: Basic Farm Machinery. 3 ed., Great Britain, A. Wheaton & Co. Ltda., 1980. Cap.14, p133-45.
- SMITH, L.A. & BARKER, G.L. Equipment to Monitor Field Energy Requirements. Transactions of the ASAE, 25(1): 1556-59, 1982.
- SOUZA, M.M.S.; LOPEZ, J.C.; PINHO, N.J.F.; GAMERO, C.A. Desempenho Comparativo entre arado de discos e arado de aivecas. in: XVIII CONGRESSO BRASILEIRO DE ENGENHARIA AGRICOLA, Recife-PE, 1989. Resumo, CNEA/MA.
- SOUZA, W.R. Subsolador: influência de parâmetros geométricos na distribuição das forças. Dissertação (Mestrado em Engenharia Agrícola), Universidade Estadual de Campinas, 106p, 1989.
- STEEL, R.G.D. & TORRIE, J.H. Principles and Procedures of Statistics - A Biometrical Approach. McGraw-Hill Company, NY, 1980.
- VANDEN BERG, G.E. Analysis of Forces On Tillage Tools. Journal of Agricultural Engineering Research, 11(3): 201-5, 1966.
- WAINWRIGHT, R.P.; WESLEY, F.B.; STEPHEN, J.M.; WILLIAM, I.B. A Variable Approach-Angle Moldboard Plow. Transactions of the ASAE, 26(1):392-5, 1983.
- WANG, J.K. & KWANG, L. Predicting Mouldboard Plow Draft in Different Processed Soils. Transactions of the ASAE, 16(5):851-4, 1973.
- WENDELL, B.; BENJAMIN, A.J.; ELWOOD, F.O. Tillage Machinery. in: Engineering Applications in Agriculture. 4 ed., EUA, Stipes Publishing Company, 1973, p222-9.

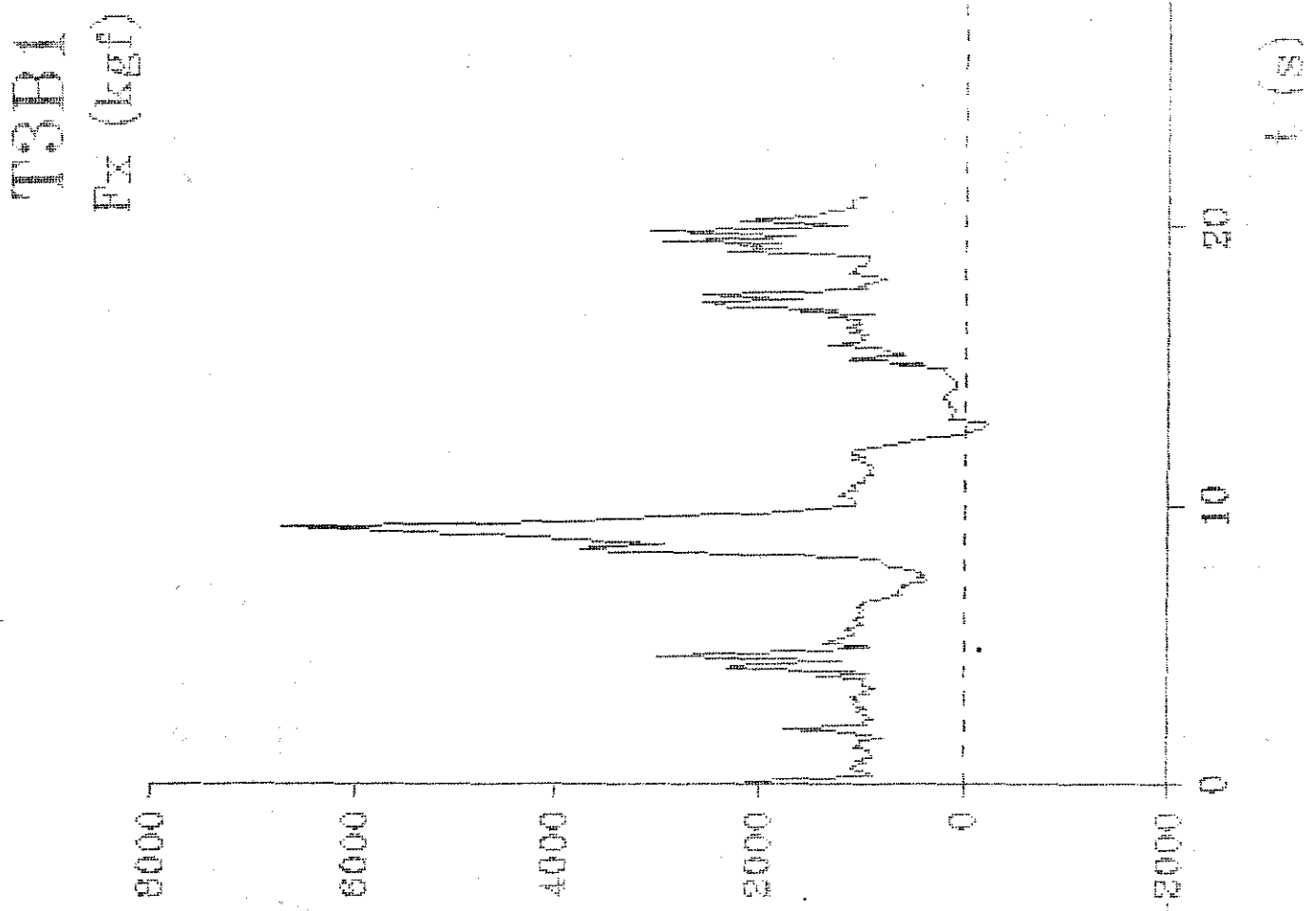
ANEXO 1



ANEXO 2

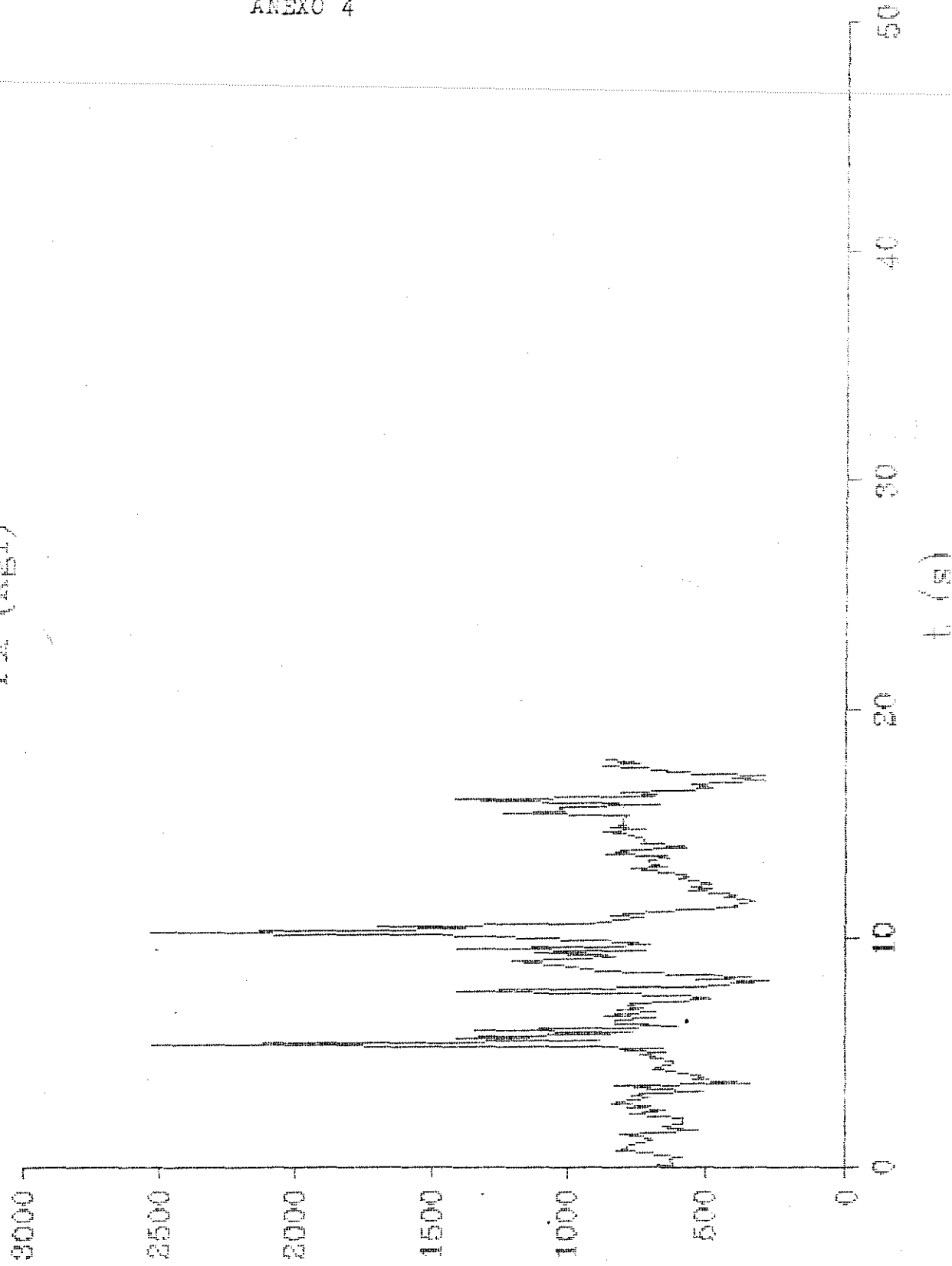


ANEXO 3

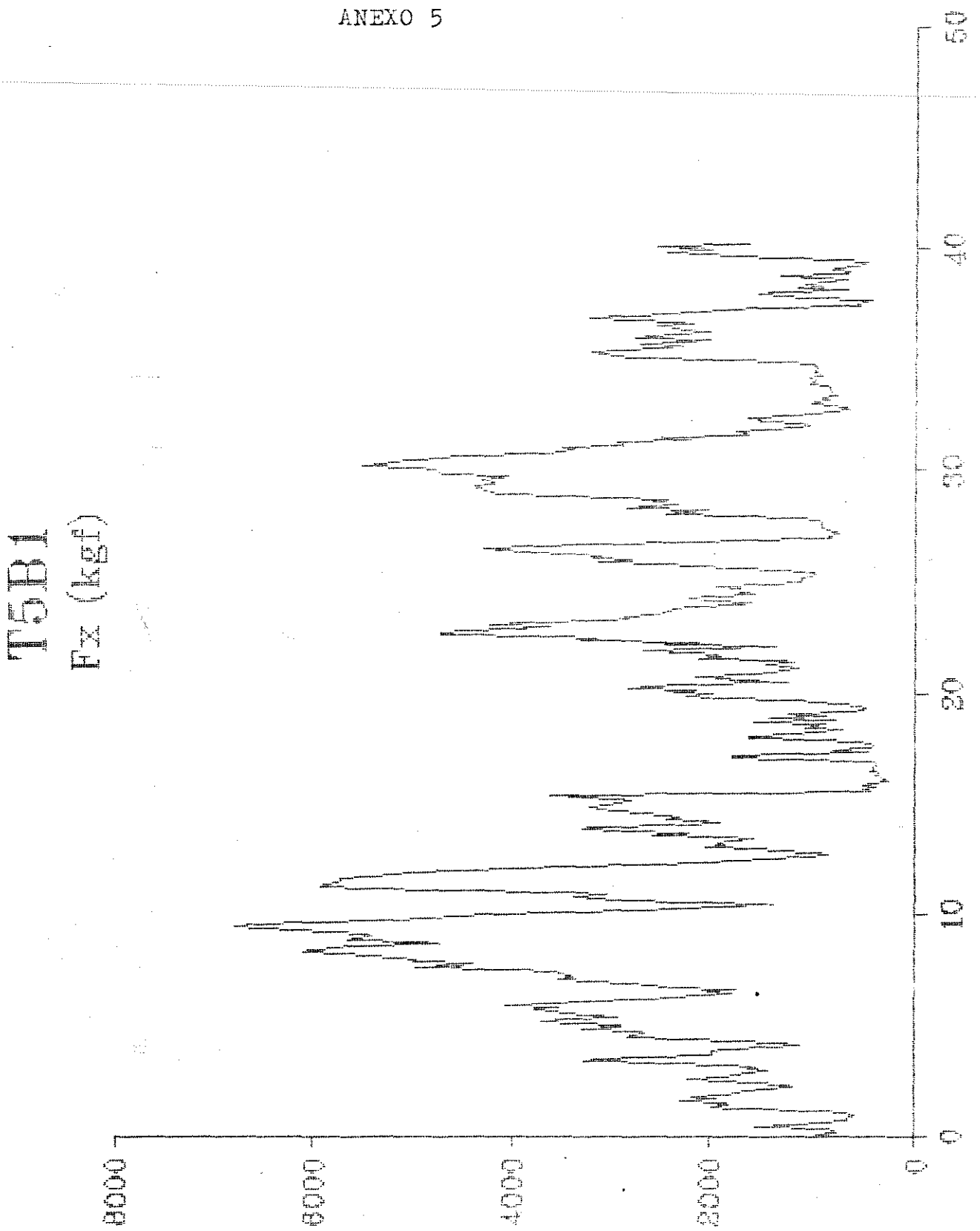


ANEXO 4

FIG 4B1
E₂ (KBT)



ANEXO 5



ANEXO 6

DEP
DEP
DEP

DEP
DEP
DEP

00000000

00000000

00000000

0

00000000

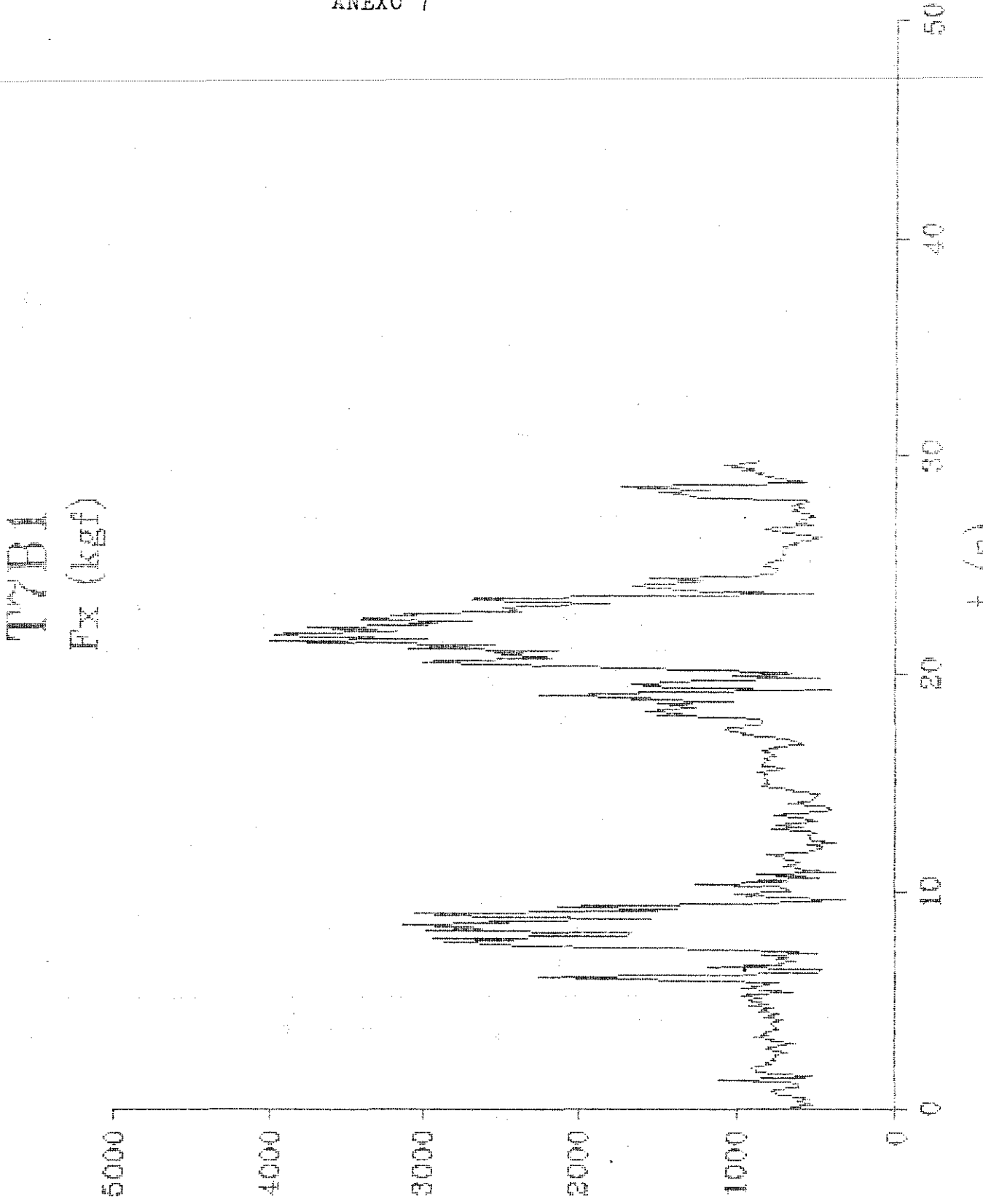
0

0

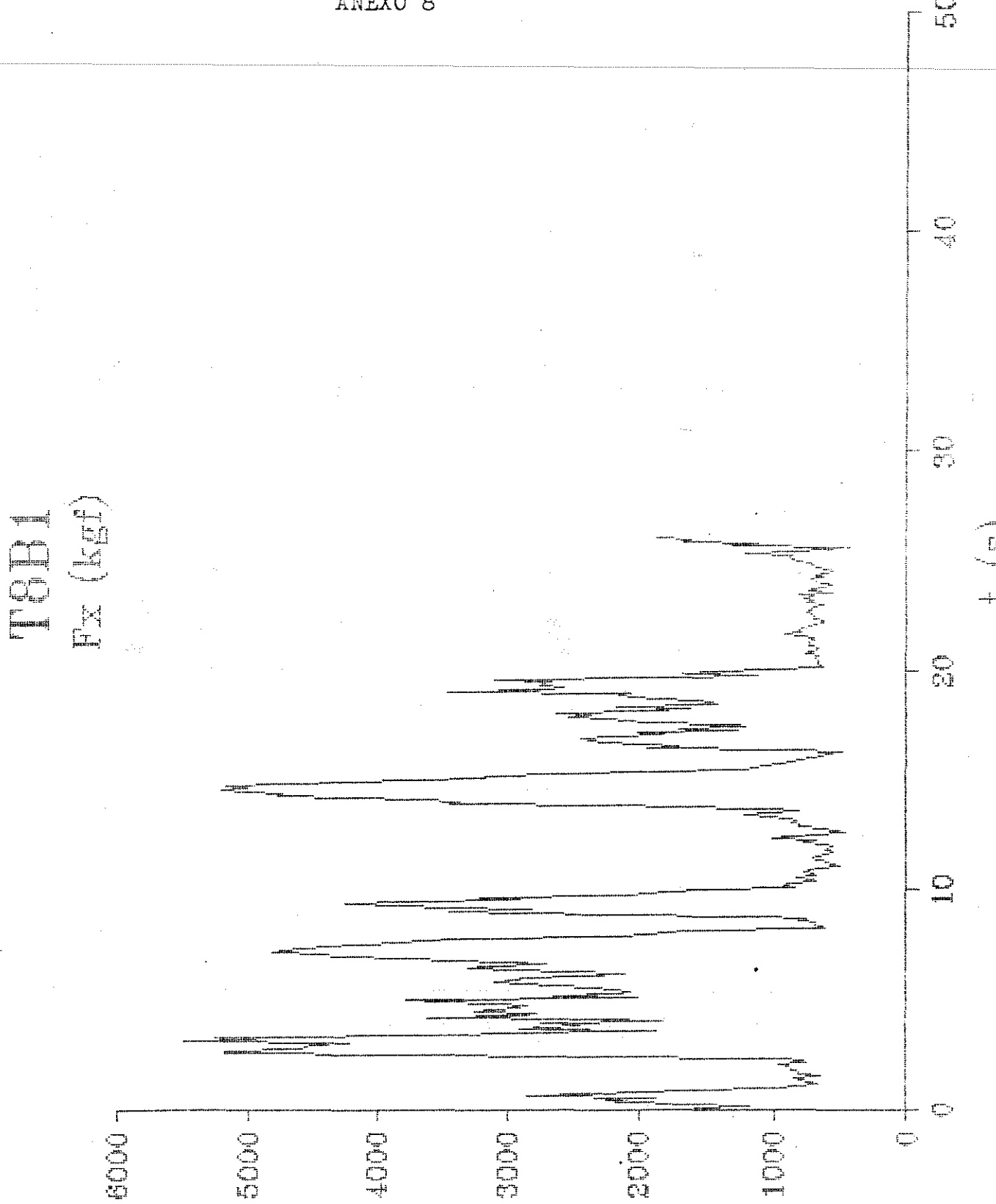
0

0

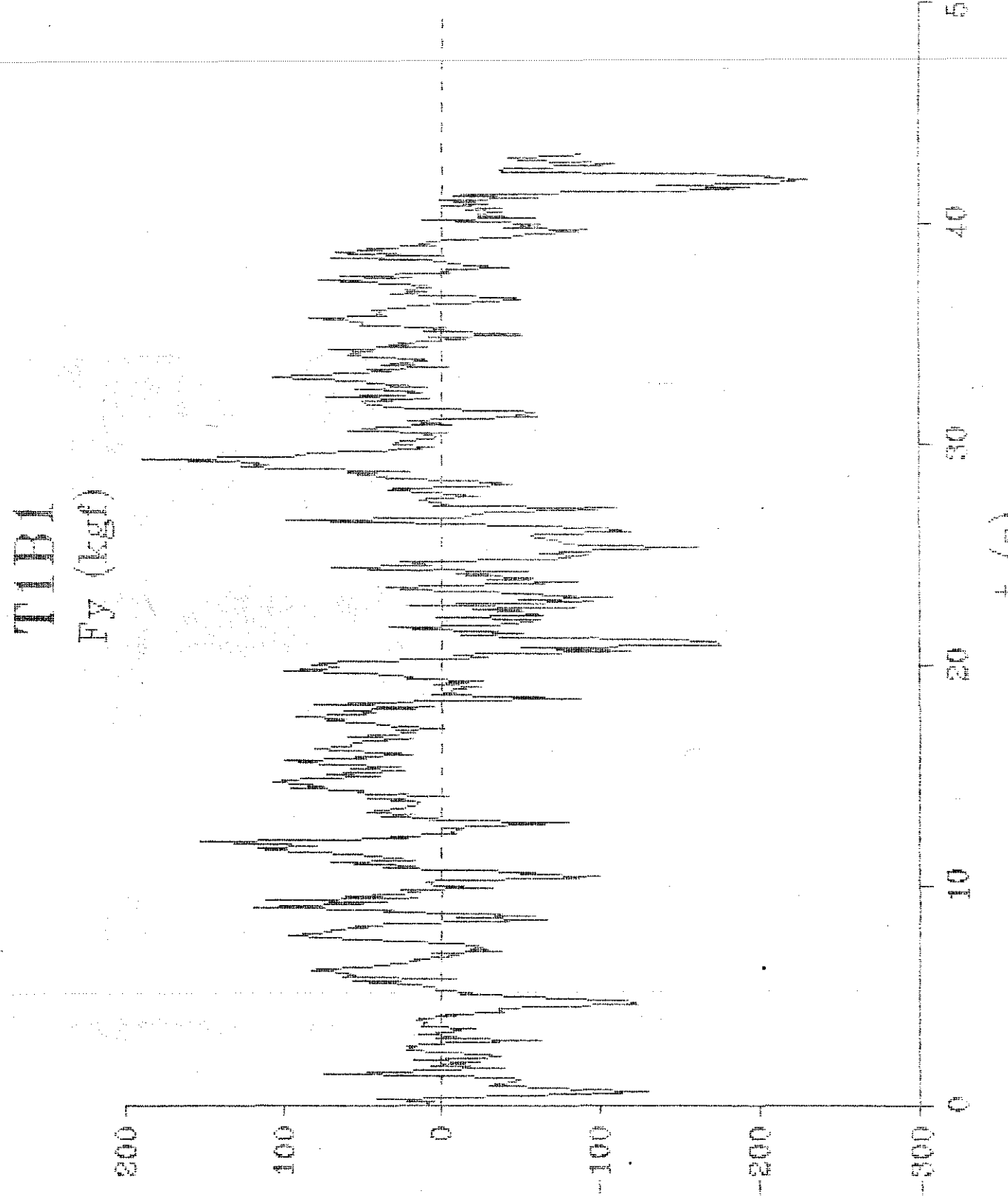
ANEXO 7



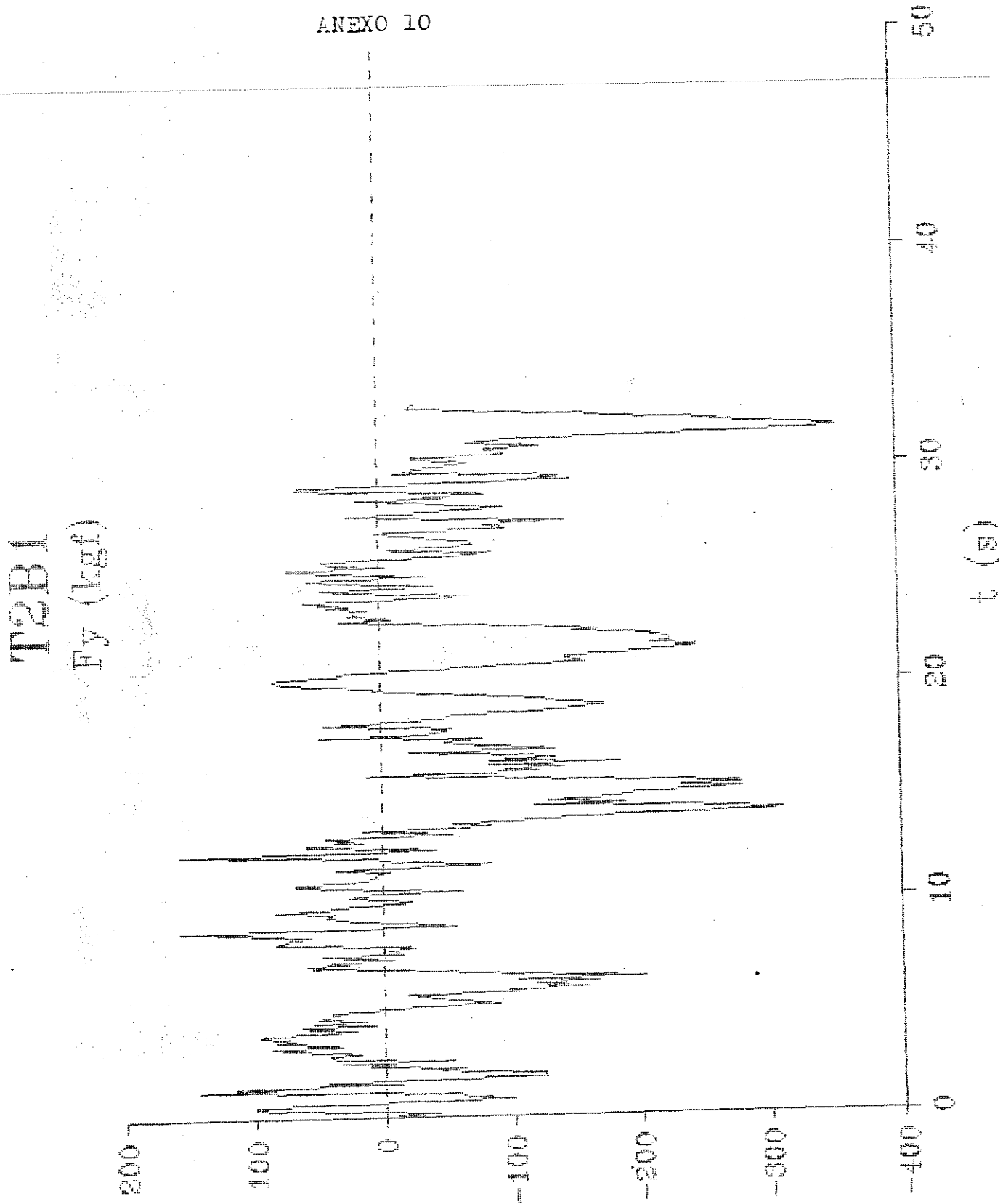
ANEXO 8



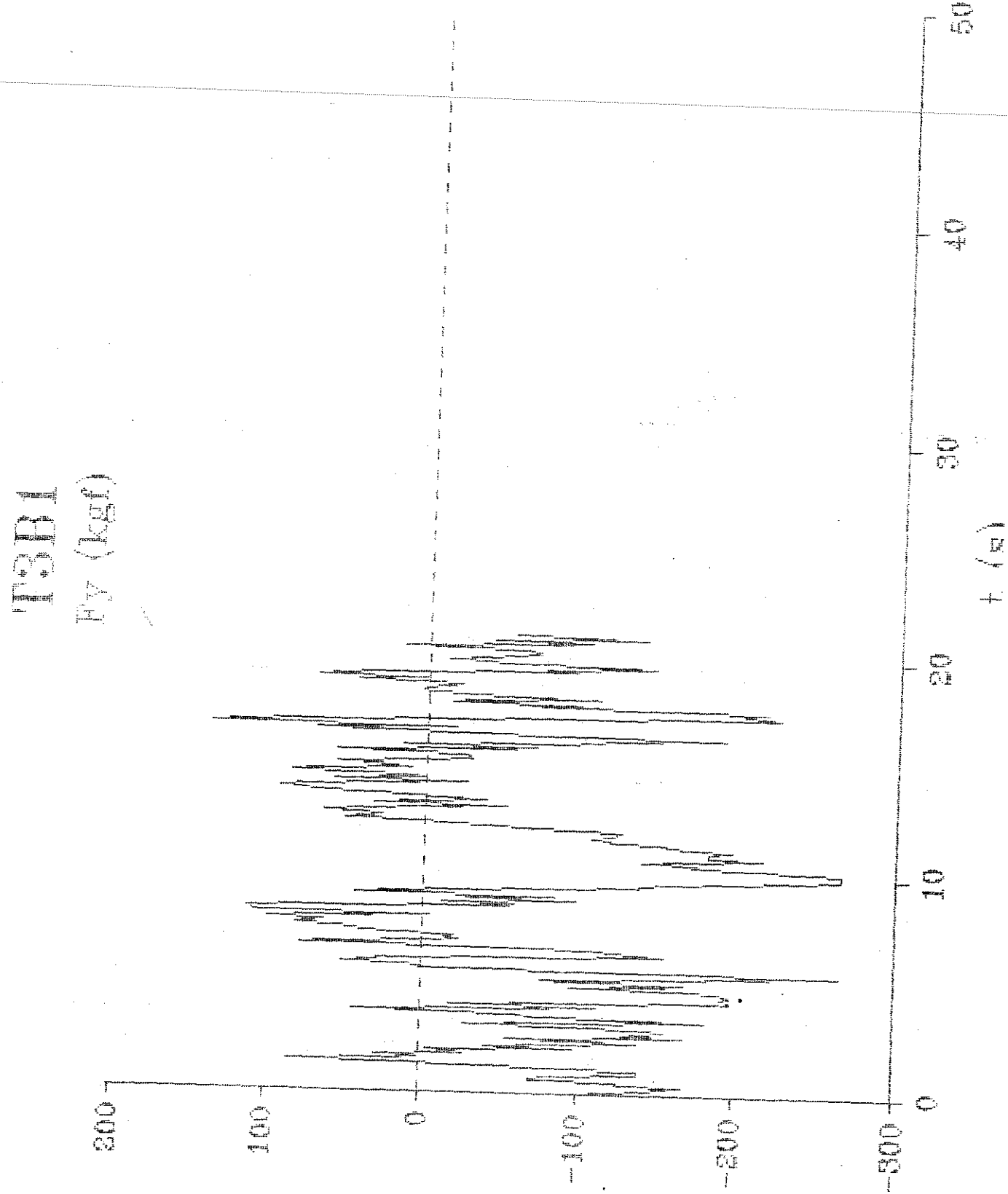
ANEXO 9



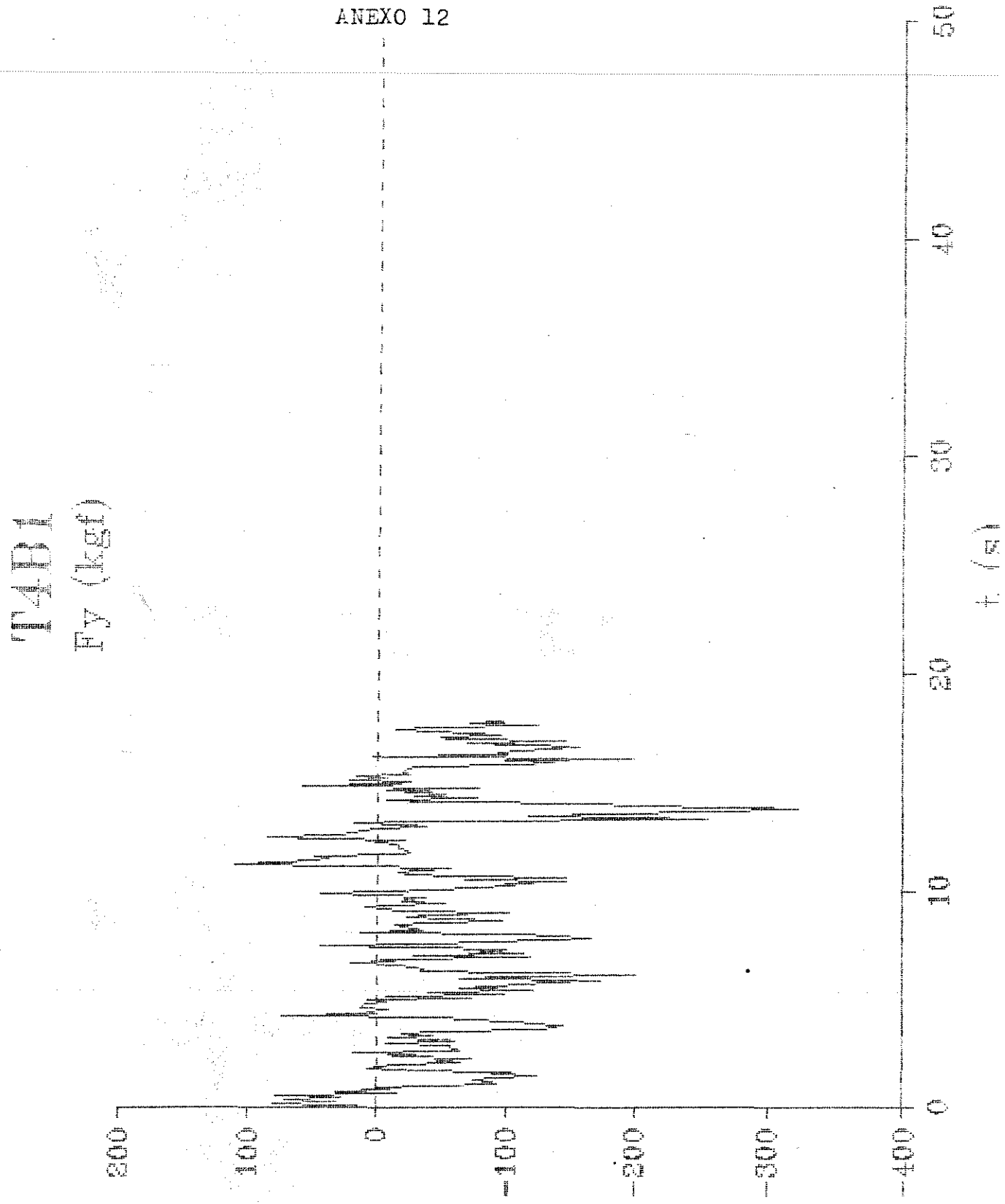
ANEXO 10



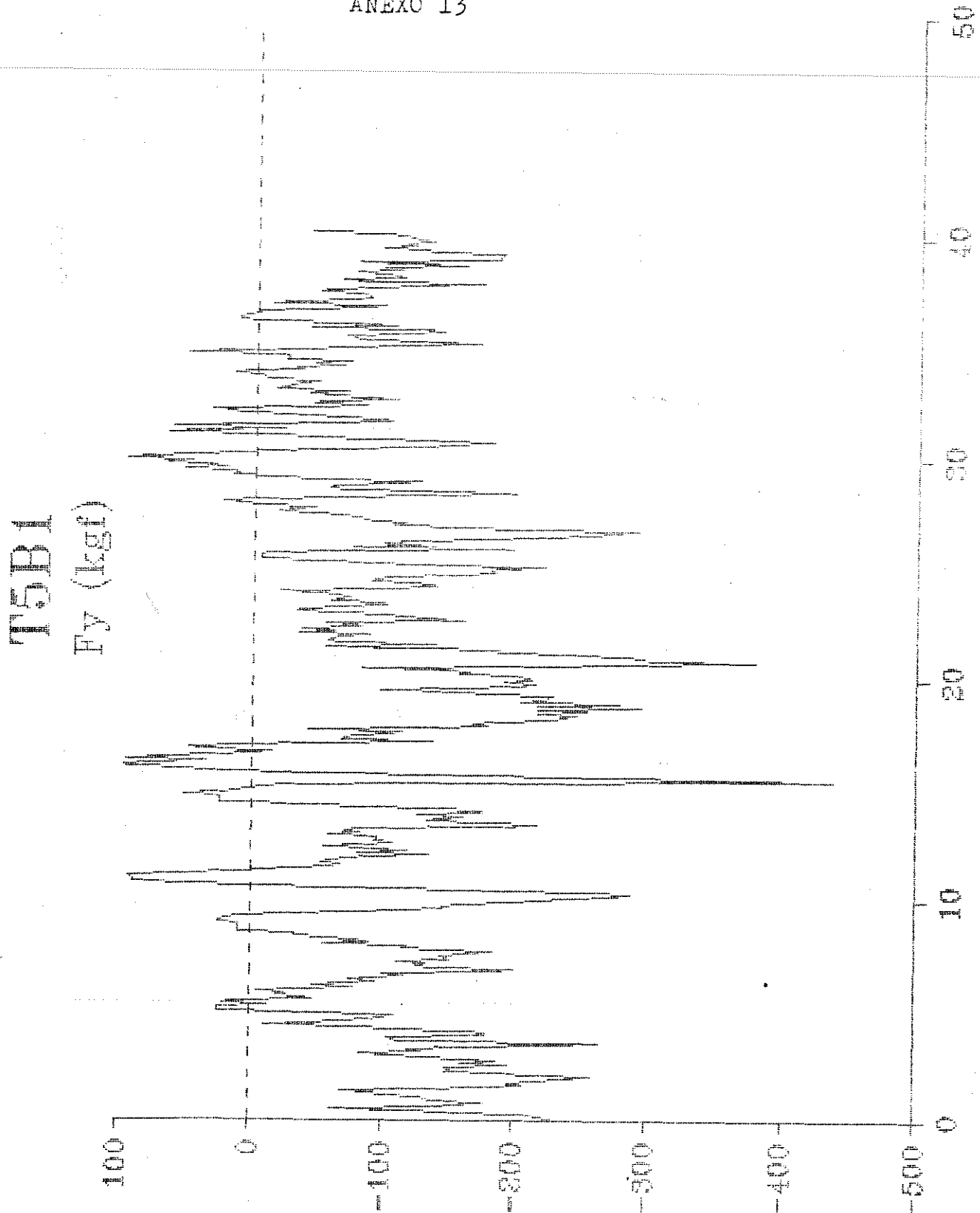
ANEXO 11



ANEXO 12

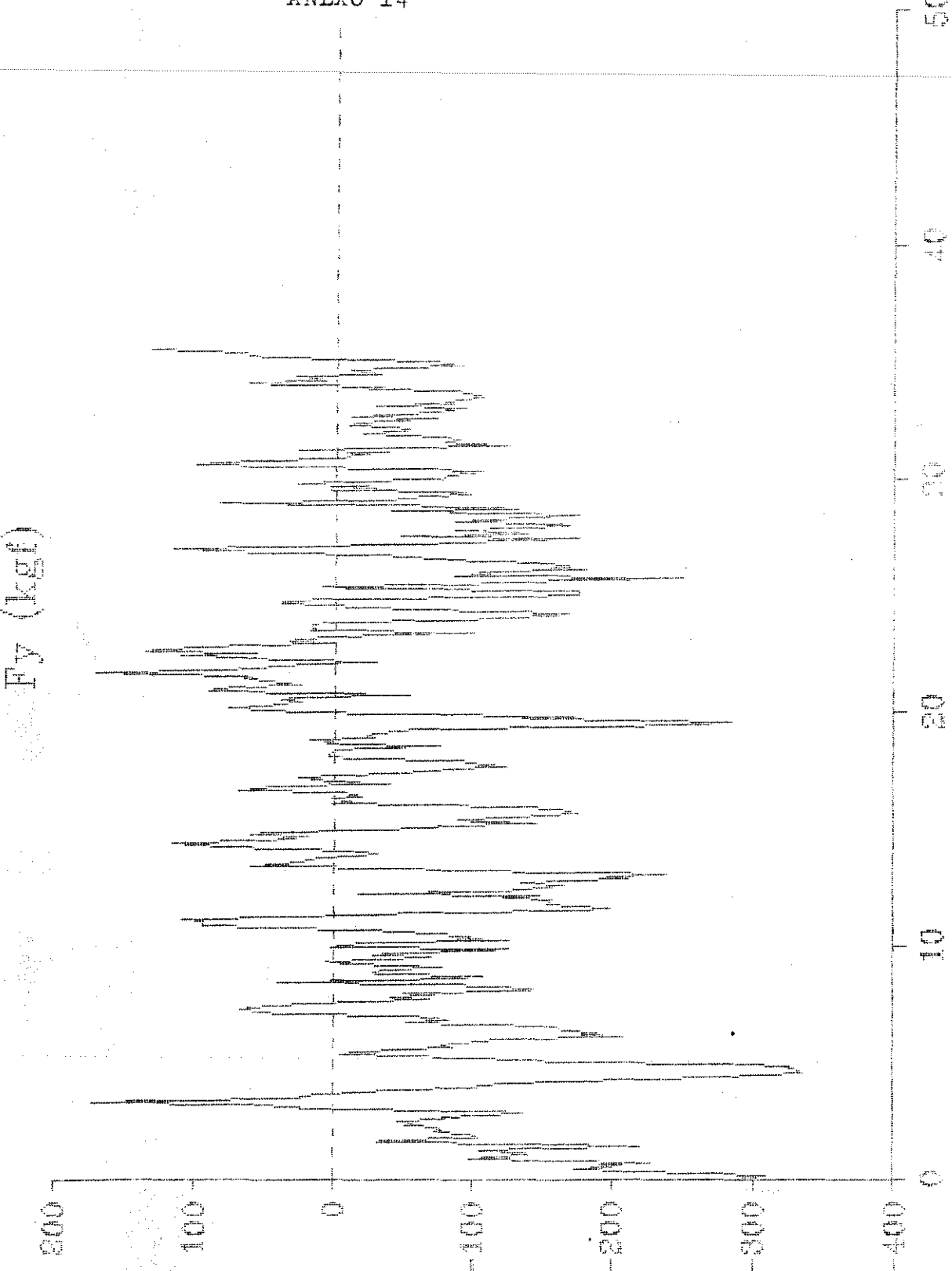


ANEXO 13

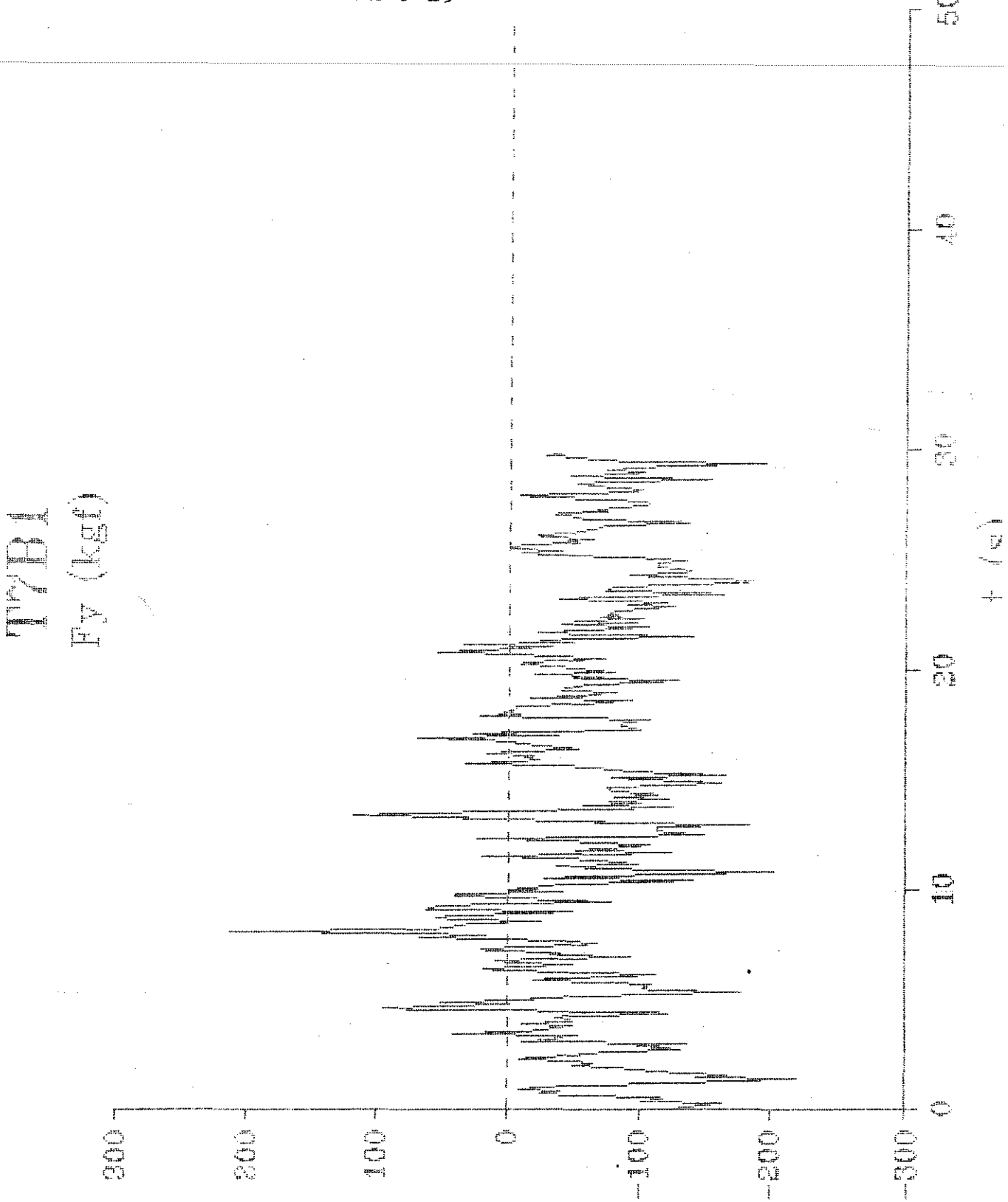


ANEXO 14

FIG B1

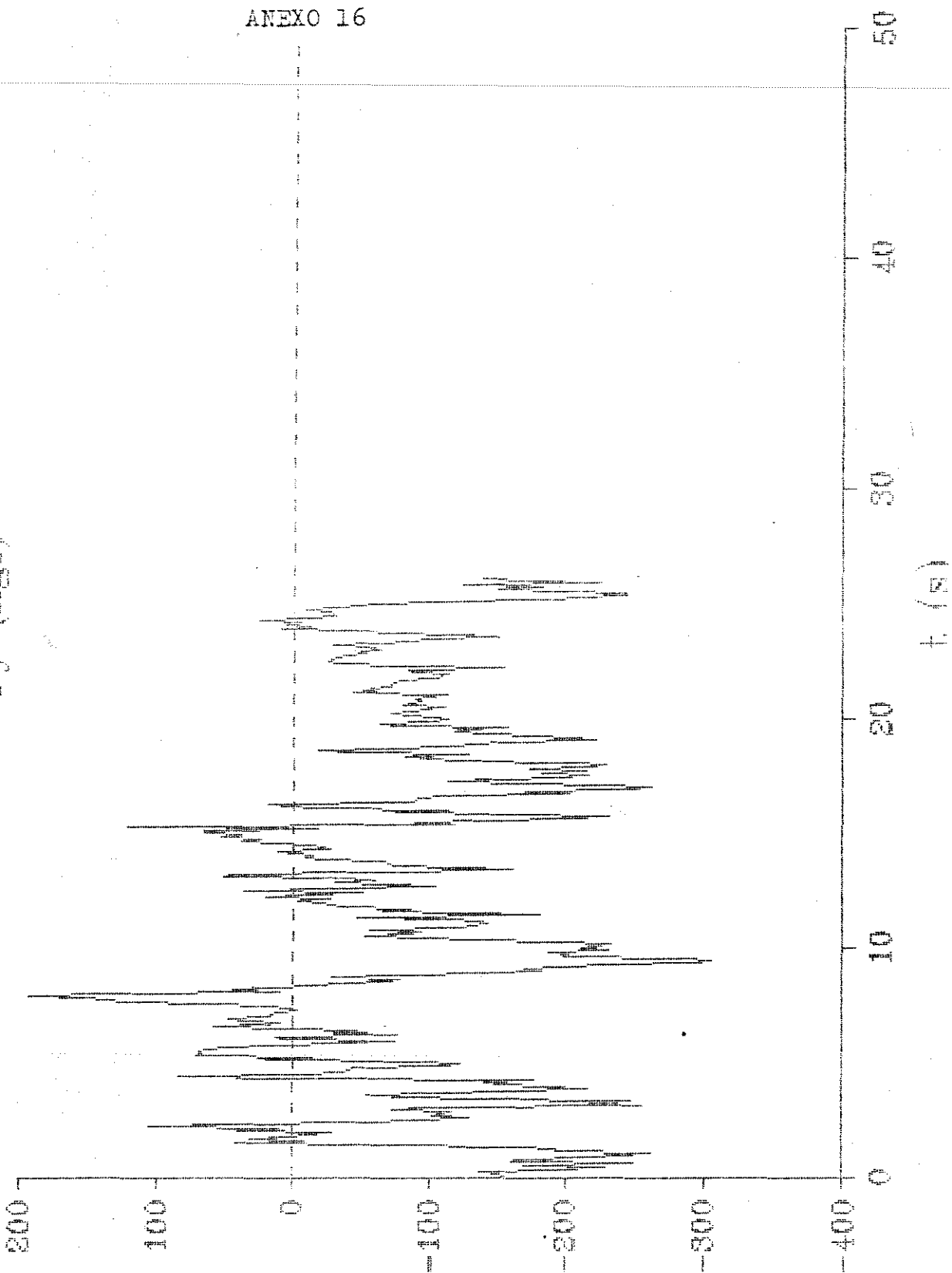


ANEXO 15

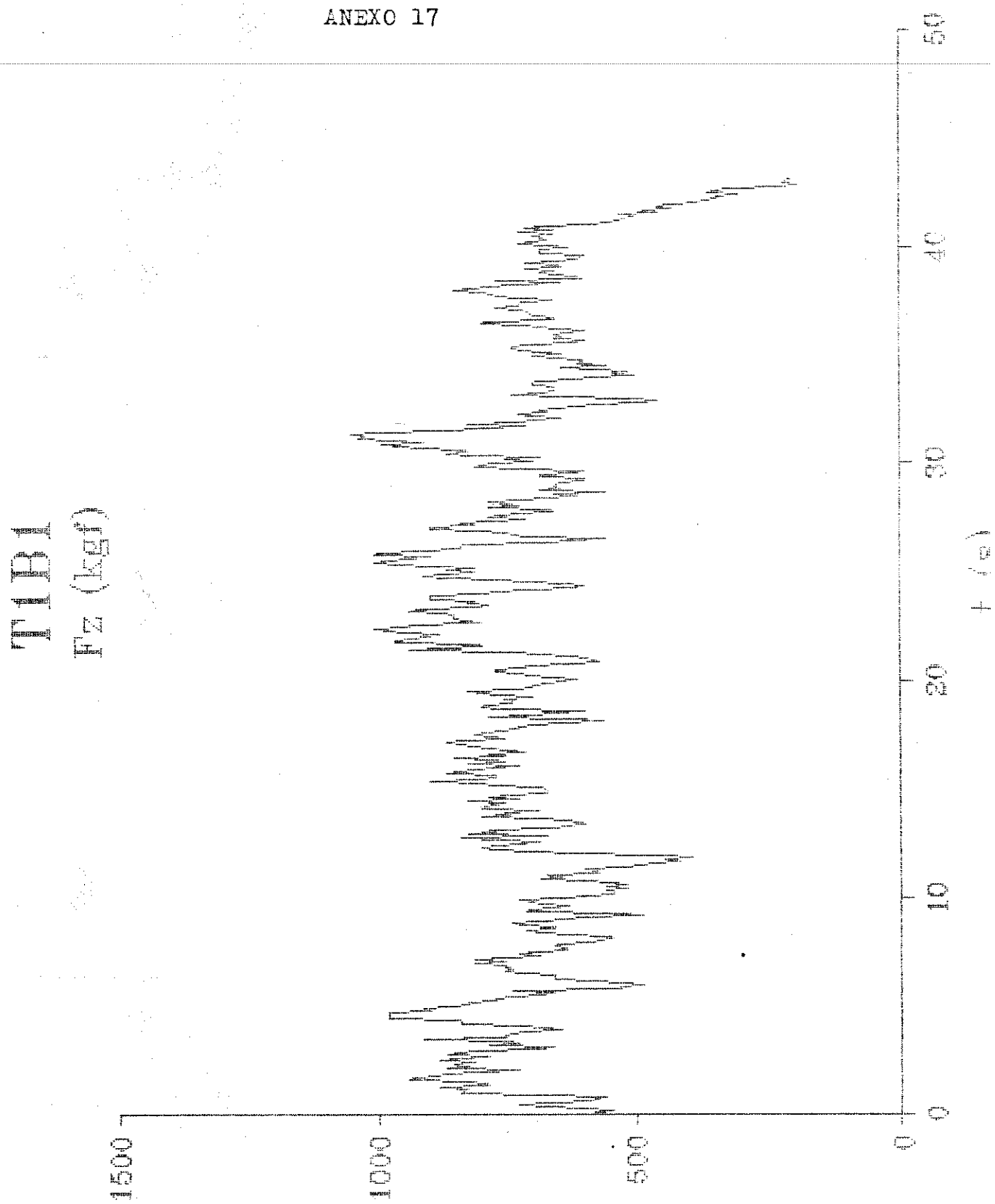


ANEXO 16

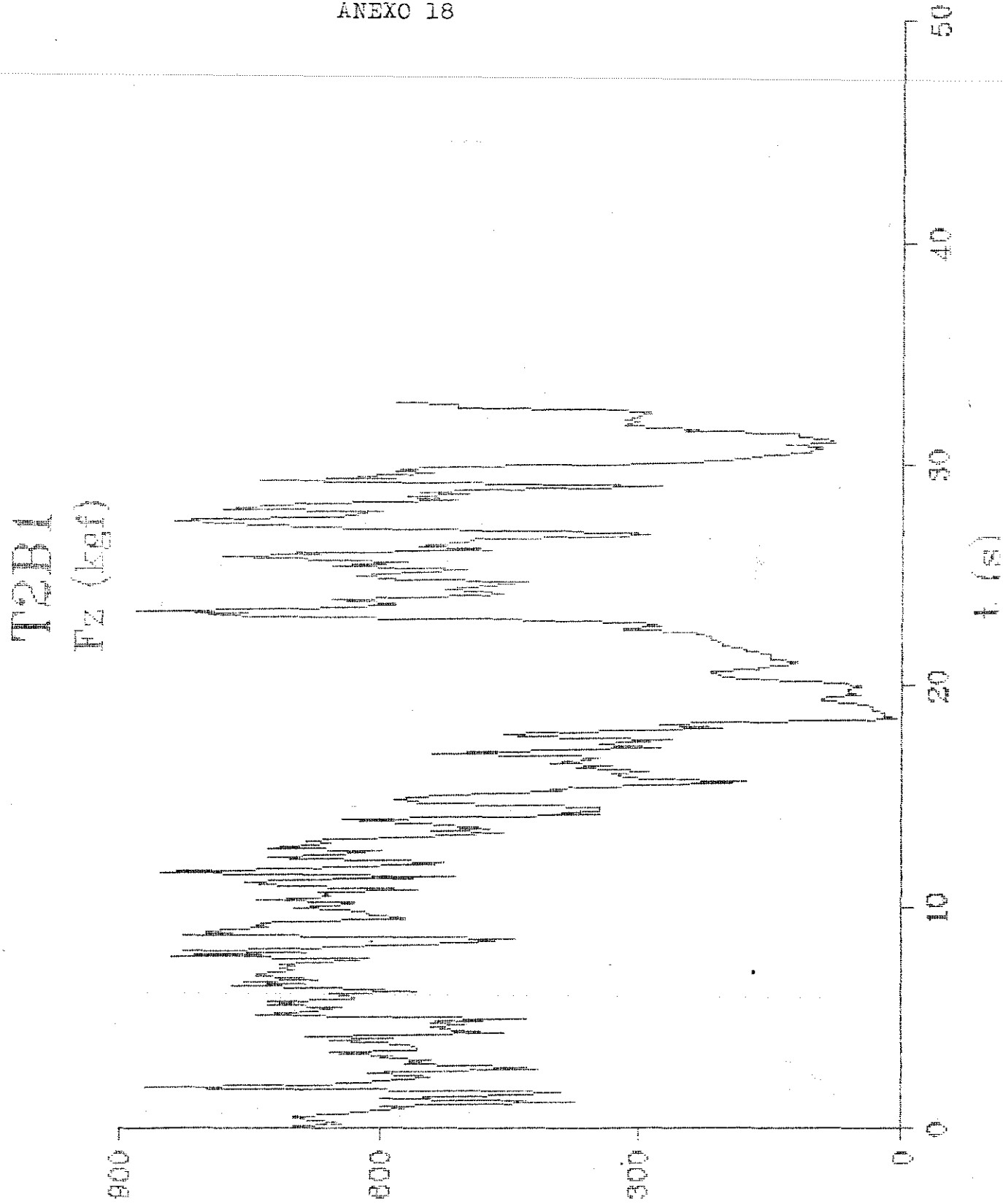
FIGURA
FPT (1500)



ANEXO 17



ANEXO 18



ANEXO 19

MP3D1

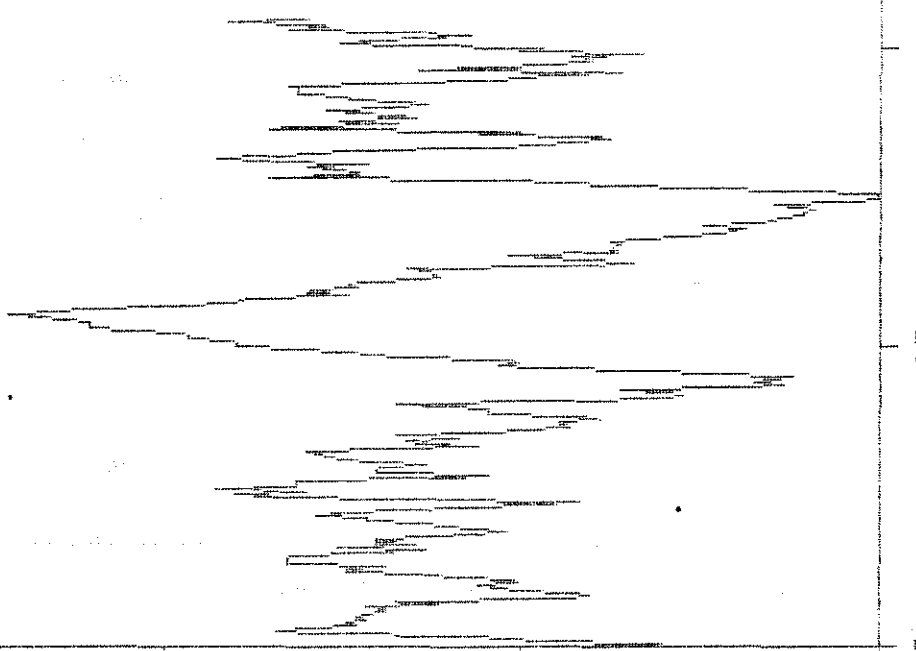
Fr₂ (log f)

1500

1000

500

0



00

50

00

00

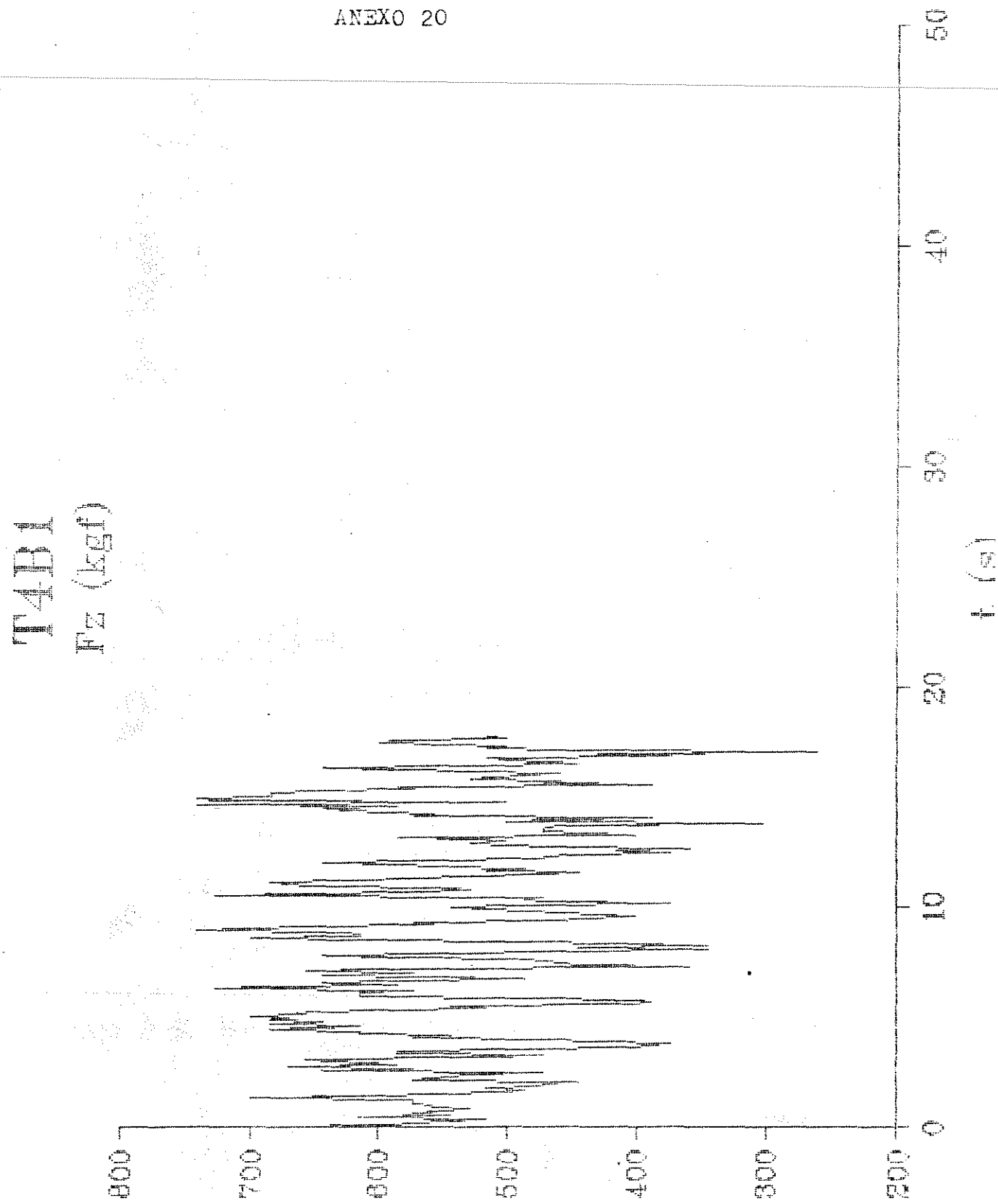
00

00

00

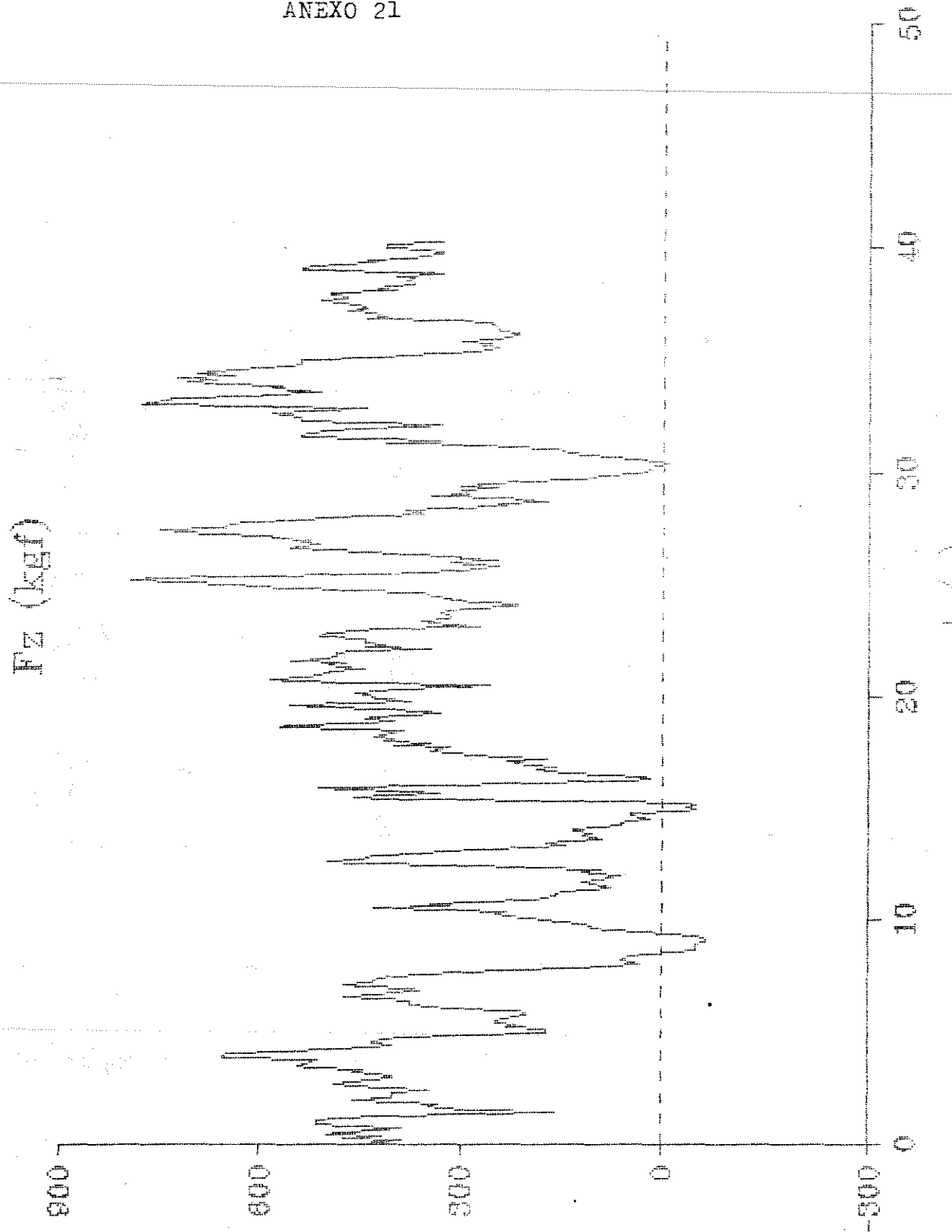
00

ANEXO 20



ANEXO 21

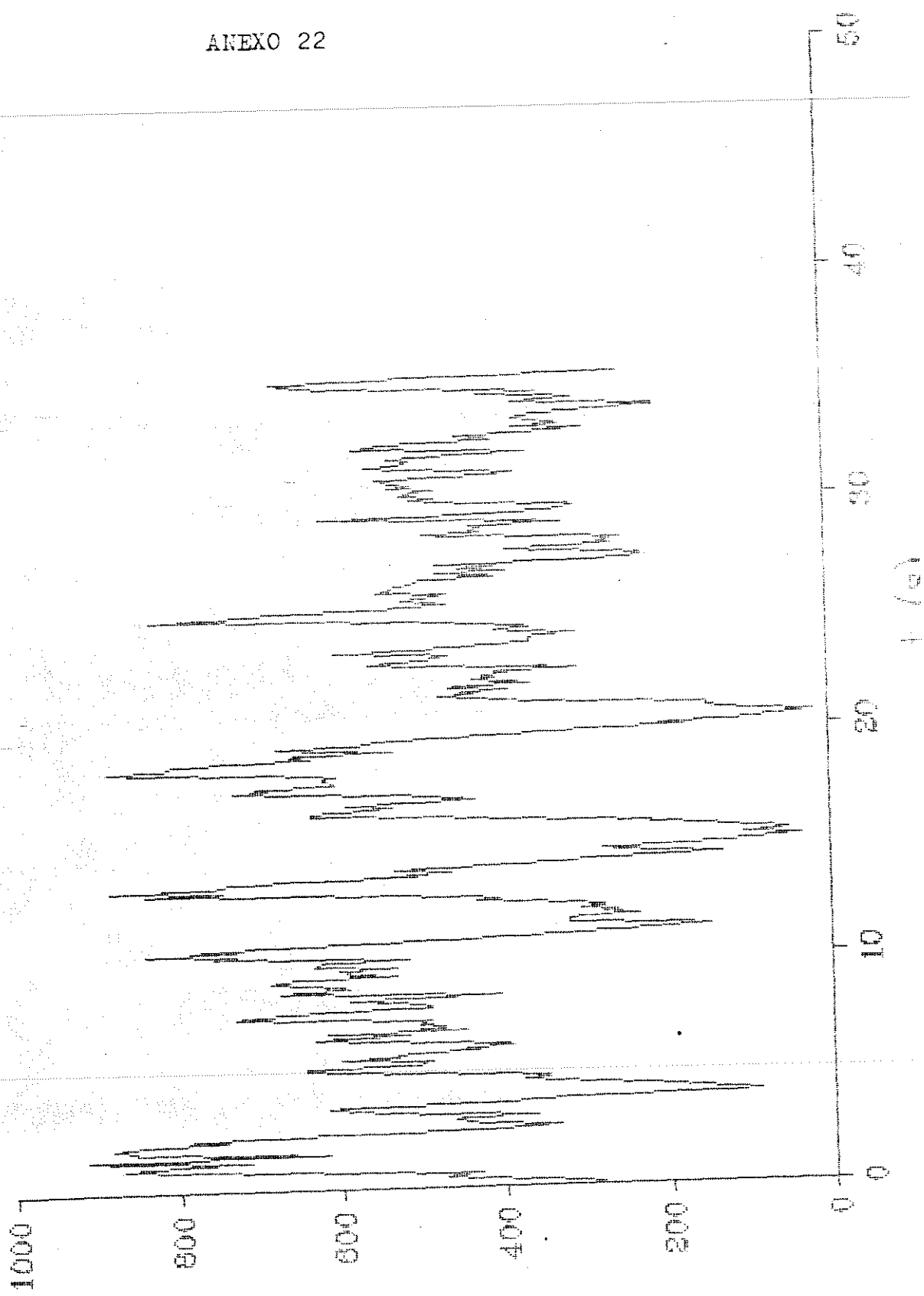
FIG. 1



ANEXO 22

16B1

TZ (kg)



50

00

30

00

10

00

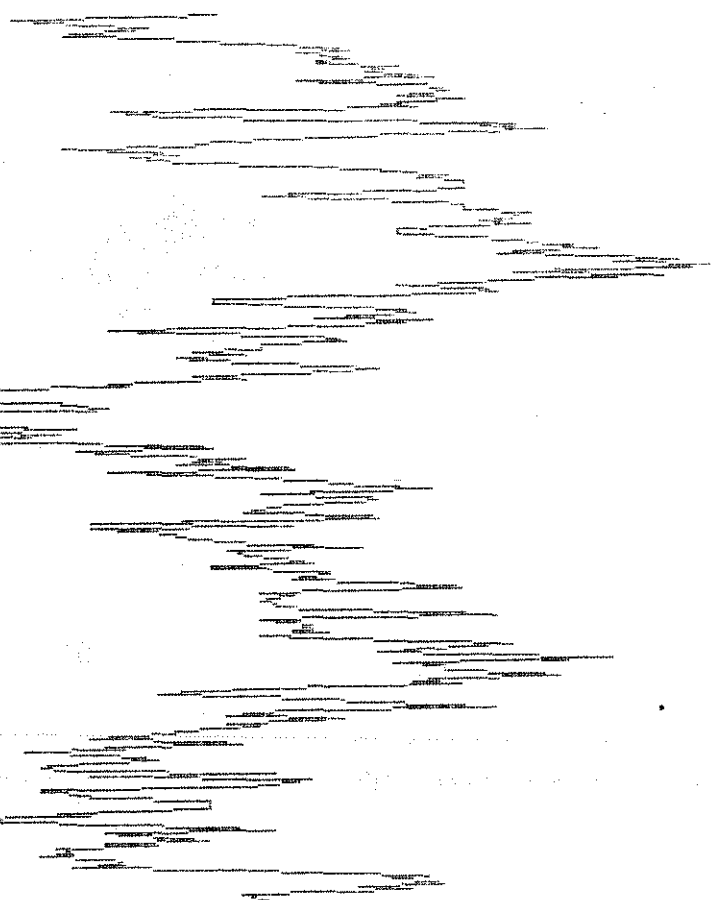
00

00

00

FIGURA 1

ANEXO 23



ANEXO 24

